

ห้องสมุดโครงการคณะเทคนิคการแพทย์

วารสารเทคนิคการแพทย์ เชียงใหม่



**BULLETIN OF
CHIANG MAI
ASSOCIATED MEDICAL SCIENCES**

VOLUME 7

JANUARY 1974

NUMBER 1

บริษัท อุตสาหกรรม จำกัด

๕๑ อาคาร ๘ ถนนราชดำเนิน พระนคร
ที่ ป.ณ. ๒-๕๑ โทรศัพท์ ๘๑๖๕๗๕, ๘๑๖๒๒๔

บริการและจำหน่าย

เคมีภัณฑ์ อุปกรณ์วิทยาศาสตร์

เทคนิคทางวิทยาศาสตร์โดยทั่วไป

เพื่อการศึกษา, วิเคราะห์, วิจัย และอุตสาหกรรม

ทุกสิ่งทุกอย่างเกี่ยวกับวิทยาศาสตร์การแพทย์

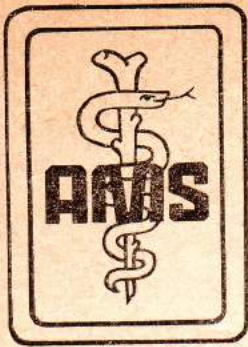
โปรดติดต่อกับ

บริษัท อุตสาหกรรม จำกัด

เป็นผู้แทนจำหน่ายแต่ผู้เดียวในประเทศไทย ของบริษัทต่อไปนี้

1. Griffin & George. England
British leading Supplier & Manufacturer of Scientific equipment for
Chemistry - Physics - Biology and Applied Sciences
2. Stanton Instrument Ltd. England.
Manufacturer of Analytical Balance, Equipments for Thermogravimetry-
Differential Thermal Analysis
3. LBK-Produkter AB. Sweden
Advanced Research Equipments with Special Emphasis in Bio - Medicine &
Bio - Chemistry
4. PHYWE AG. German
German Leading Manufacturer & Supplier for Scientific equipments in the
field of Physic Chemistry Biology and Applied Research Techniques.
5. W. Buchi Glasapparate Fabrik. Switzerland
Swiss Manufacturer of Scientific Glass Apparatus for Advanced Research
and Routine Control Laboratories
6. Orion Research Inc. U.S.A.
Manufacturer of Specific Ion Meters & Specific Ion Electrodes-A Whole
New Technology for Chemical Measurement.
7. Van Water & Rogers Inc. U.S.A.
US & World Leading Scientific Supplier and Manufacturer for Scientific
Instruments and Apparatus for industrial, educational, Clinical & Research
Laboratories.

etc.



ท้องสมต เทคนิคการแพทย์

มหาวิทยาลัยเชียงใหม่

วารสารเทคนิคการแพทย์ เชียงใหม่
BULLETIN OF CHIANG MAI
ASSOCIATED MEDICAL SCIENCES

Volume 7

January 1974

Number 1

Editorial	การประชุม ณ กรุงเอเธนส์ ประเทศกรีซ จิรศักดิ์ กำภูเรือง, พ.บ., M.Sc., Ph.D.	1
Localized Leukocyte Mobilization study in Thalassemia, Leukemias and SLE	Piyarat Saelim, B.Sc. (Med. Tech.) Chalaw Buanamjued, B.Sc. (Med. Tech.) Panja Kulapongs, M.D. Dip. Amer. Bd. of Ped.	7
Cholesterol and phospholipid content of Red cell Membrane :		17
I. Healthy young children and Pregnant women	Pramote Teowsiri, B.Sc. (Med. Tech.) Sanong Chaiyarasamee, B.Sc. (Med. Tech.), M.T. (ASCP). Orapin Chaiyarasamee, B.Sc. (Med. Tech.), M.T. (ASCP).	
The serum lipids III in Diabetes Mellitus.	Muni Keoplung, M.D. Jit Jiraratsatit, M.D. Nantaya Waiwatana, B.Sc. (Med. Tech.)	23
Radioimmunoassay of serum Insulin by phadebas Insulin test.	Vachira Mokamol, M.D. Muni Keoplung, M.D. Jit Jiraratsatit, M.D.	29
The Relationship of Rosette-Forming Cell to Antibody Titer.	Phanorsri Attanath, B.Sc. (Med. Tech.) Sanit Makonkawkeyoon, Ph.D.	35
A study of the size, Growth rate and Serology of Trypanosoma lewise Infection in white Rats.	Autai Thomyamonkol, B.Sc. (Med. Tech.) Niwat Nateewattana, B.Sc. (Med. Tech.) Lilit Hongsbhanich, M.D. Cert. in Micro. Dis.	41
Abstracts		49
News		52

สำนักงาน : โครงการคณะเทคนิคการแพทย์ Office : The Faculty of Associated
มหาวิทยาลัยเชียงใหม่ Medical Sciences Project,
CHIANG MAI University.

กำหนดออก : ราย ๔ เดือน (มกราคม, Published : Tertially (January, May,
พฤษภาคม, กันยายน) September)

วารสารเทคนิคการแพทย์ เชียงใหม่

บรรณาธิการ

รองศาสตราจารย์ นายแพทย์ชัยโรจน์ แสงอุทุม พ.บ.

ผู้ช่วยบรรณาธิการ

สนอง ไชยารัตน์ พ.บ. (เทคนิคการแพทย์), M.T. (ASCP)

กองบรรณาธิการ

สนธิ มกรแก้วเกียร พ.บ. (เทคนิคการแพทย์), พ.บ., Ph.D.

สุชาติ ศิริทูล พ.บ. (เทคนิคการแพทย์)

ไพโรจน์ สภาวจิตร พ.บ. (เทคนิคการแพทย์)

ชลอ บัวน้ำจืด พ.บ. (เทคนิคการแพทย์)

บุญพะเยาว์ เลาหะจินดา พ.บ. (เทคนิคการแพทย์)

อัญชลี กิตติชนมธวัช พ.บ. (เทคนิคการแพทย์)

สุพร มาตระกูล พ.บ. (เทคนิคการแพทย์)

นวลชื่น คำทอง พ.บ. (เทคนิคการแพทย์)

นิมิตร มรกต พ.บ. (เทคนิคการแพทย์)

เดชา ร่มไทรย์ พ.บ. (เทคนิคการแพทย์)

บรรณาธิการ

เพ็ญศรี วรรณฤมล พ.บ. (เทคนิคการแพทย์)

ผู้จัดการ

เนตร สุวรรณคุณาสน์ พ.บ. (เทคนิคการแพทย์), Cert. in Imm.

ที่ปรึกษาวิชาการ

ศาสตราจารย์ นายแพทย์ตะวัน กังวานพงศ์ พ.บ., D.T.M. & H.

ศาสตราจารย์ นายแพทย์ประยุทธ์ ชูตะสัค พ.บ., M.Sc.

ศาสตราจารย์ นายแพทย์บริบูรณ์ พรพิบูลย์ พ.บ., M.S.

ศาสตราจารย์ นายแพทย์กัมพล พันธุ์อำพล พ.บ.

ผู้ช่วยศาสตราจารย์ นายแพทย์สนาน สิมารักษ์ พ.บ., C.R., Dip. Am. Board of Radiology.

ผู้ช่วยศาสตราจารย์ นายแพทย์มนี แก้วปลั่ง พ.บ.

ผู้ช่วยศาสตราจารย์ นายแพทย์จิรศักดิ์ คำบุญเรือง พ.บ., M. Sc., Ph. D.

ผู้ช่วยศาสตราจารย์ นายแพทย์บุญจะ กุลพงษ์ พ.บ., Dip. Am. Board of Pediatrics.

ผู้ช่วยศาสตราจารย์ นายแพทย์ดำริ ดำรงค์ศักดิ์ พ.บ. Dip. Am. Board of Pediatrics.



การประชุม The Ninth International Congress on Tropical Medicine and Malaria ณ กรุงเอเธนส์ ประเทศกรีซ

ผู้ช่วยศาสตราจารย์ นายแพทย์จรศักดิ์ คำบุญเรือง พ.บ. M. Sc. Ph. D.

เมื่อวันที่ 3 กรกฎาคม 2516 ผู้เขียนได้รับจดหมายจาก Professor G. Merikas, ซึ่งเป็น President และ Professor J. Pavavssiliou ซึ่งเป็น Secretary ของ The Ninth International Congress on Tropical Medicine and Malaria เชิญชวนให้ไปร่วมประชุมและนำรายงาน การวิจัย ไปเสนอต่อที่ประชุม ซึ่งจะจัดให้มีขึ้น ณ กรุงเอเธนส์ ประเทศกรีซ ในระหว่างวันที่ 14-21 ตุลาคม 2516 ผู้เขียนจึงได้ทำบันทึกเสนอขึ้นไปตามลำดับขั้น เพื่อขออนุมัติไปราชการ เพื่อการเดินทางไปประชุม ณ ต่างประเทศ และในที่สุดก็ได้รับอนุมัติจาก นายกรัฐมนตรี ก่อนวันเดินทางเพียงไม่กี่วัน ให้เดินทางไปร่วมประชุมได้ โดยใช้เงินบกลาง ผู้เขียนมีเวลาเตรียมตัวก่อนเดินทางประมาณ 3-4 วัน สำหรับเรื่องฉีดยาต่าง ๆ อันได้แก่หนังสือเดินทาง, หนังสือรับรองการฉีดวัคซีน ส่วนรายงานที่จะนำไปเสนอต่อที่ประ

ชุม ได้เตรียมการล่วงหน้าเป็นเวลาพอสมควรแล้ว จึงไม่มีปัญหายุ่งยาก ผู้เขียนได้ออกเดินทางจากกรุงเทพฯ ในวันที่ 13 ตุลาคม 2516 ก่อนวันมหาวินโยคเพียง 1 วัน โดยออกเดินทางโดยสายการบิน KLM เที่ยวบินที่ 862 ซึ่งเป็นเที่ยวบินเดียวกันที่เพิ่งถูกพอลออาหรับจี้ ซึ่งก็นับว่าเป็นโชคของผู้เขียน และนอกจากนั้นในวันเดินทางผู้เขียน จะต้องออกเดินทางเวลา 18.00 น. เผอิญตอนบ่ายของวันนั้น นิสิตนักศึกษาได้ยื่นคำขาดต่อรัฐบาล และได้เริ่มเดินขบวน ผู้เขียนไปทำธุระที่โรงพยาบาลกรุงเทพคริสเตียน ขากลับจะกลับมายังไทยโฮเต็ลเวลา 14.00 น. ปรากฏว่าขบวนคนนราชดำเนินไม่ได้ จึงต้องเดินจากนางเลิ้งมายังไทยโฮเต็ล วิสุทธิกษัตริย์ พอมาถึงก็รีบจัดกระเป๋าเดินทางไปตอนเมืองทันทีเพราะหารถแท็กซี่แทขจะไม่ได้ ฉะนั้นจึงเป็นวันเดินทางที่ยุ่งวุ่นวายทุกพอดู เมื่อไปถึงตอนเมือง ก็ทราบว่ายานบินดังกล่าวเสียเวลาไปอีก 1 ชั่วโมง

โมง เดิมจะออกเดินทาง 18.00 น. จึงต้อง
 เลื่อนออกไปเป็นเวลา 1 ทุ่มตรง เที่ยวบินนี้
 เป็นเครื่องบินโบอิง 747 หรือ จัมโบ้เจ็ต ผู้
 เขียนเล็กลงในส่วน (section) ที่ห้ามสูบ
 บุหรี่ ชะรอยจะมีบางคนที่ยังไม่เข้าใจภาษา จึง
 ยังมีผู้โดยสารบางคนนั่งสูบบุหรี่ ปุๆ เป็นที่น่า
 รำคาญพอดู พอเครื่องบินขึ้นสู่อากาศระดับเพดาน
 บินแล้ว บรรดาแอร์โฮสเตสก็เริ่มแจกอาหาร
 เย็นทันที หลังจากผู้เขียนรับประทานอาหาร
 เย็นเป็นที่อึดหน้ำสำราญดีแล้ว ก็เตรียมหาที่
 หลับที่นอนเพราะจุดแรกที่จะหยุด คือ New
 Delhi ใช้เวลาบินประมาณ 4 ชม. เครื่อง
 บินก็ค่อนข้างว่าง เมื่อถึง New Delhi ทาง
 สนามบิน ไม่ยอมให้ผู้โดยสารลง นอกจากผู้
 ที่จะลงแวะอินเดียเท่านั้น ฉะนั้นทุกคนจะ
 ต้องนั่งจับเก้าอี้ในเครื่องบินอีก 45 นาที และ
 ที่ว่าท้อที่สุดก็คือ มีเจ้าหน้าที่ของสนามบิน
 ขึ้นมาพ่น ดี ดี ที เหมือนไปทิ้งล้า เมื่อถึงเวลา
 ก็บินตรงไปยังเบรุตก็ทันได้ประกาศว่า เนื่อง
 จากในขณะนั้น อาหารกำลังรบกับอิสราเอล
 ไม่สามารถที่จะบินผ่านประเทศกลุ่มตะวันออก
 กลางได้ จำเป็นจะต้องบินมุ่งไปทางเหนือผ่าน
 ชายแดนประเทศรัสเซีย แล้วจึงจะบินตัดตรง
 ลงมายังประเทศเลบานอน ทำให้ชั่วโมงบิน
 ต้องเพิ่มขึ้นอีกประมาณ 1 ชม. เครื่องบินมา

ถึงสนามบินเบรุต ประมาณ 4.00 น. เวลา
 ท้องถิ่น ทางสนามบินอนุญาตให้ผู้โดยสารลง
 พักได้ พอผู้เขียนโผล่หน้าประตูเครื่องบิน ก็
 เกือบจะวิ่งกลับเข้าไปในเครื่องบิน เพราะบริ
 เวณสนามบินเห็นมีเครื่องบินพาณิชย์อยู่ 1 ลำ
 นอกนั้นเป็นเครื่องบินรบ มีทหารสะพายปืน
 อยู่ทั่วไปหมด มีปืนต่อสู้อากาศยานอยู่ทั่วไป
 ในขณะนั้นประเทศเลบานอนยังไม่ได้ร่วมกับ
 อาหรับเข้ากับอิสราเอล แต่ได้เตรียมพร้อม
 อยู่เสมอ เมื่อผู้เขียนได้ลงไปยึดเส้นยึดสายที่
 ไม่ค่อยจะสบายใจนัก ก็บินต่อไปยังกรุงเอ
 เรนส์ทันที เครื่องบินถึงเอเรนส์เวลา 6.00 น.
 เวลาท้องถิ่น แต่ในกรุงเทพฯเป็นเวลา 11.00
 น. เวลาแตกต่างกัน 5 ชม. ผู้เขียนอยู่ใน
 เครื่องบินทั้งหมดประมาณ 11 ชม. ผู้เขียนก็
 เดินทางจากสนามบินไปยังโรงแรมที่ได้จอง ไว้
 แล้วในขณะที่เดินทางเข้าไปในเมืองทุกสิ่งทุก
 อย่างเงียบหมด เนื่องจากเป็นวันอาทิตย์ ชาว
 กรีกจะพักผ่อนอย่างเต็มที่ ร้านค้าปิดเกือบ
 หมด เมื่อไปถึงโรงแรมและเข้าไปอยู่ในห้อง
 แล้ว มีความรู้สึกอยากจะเปลี่ยนโรงแรมทันที
 เพราะเป็นโรงแรมเก่า ค่าเช่าไม่สมกับราคาที่
 จะต้องจ่ายเลย แต่ผู้เขียนได้ทราบมาก่อนว่า
 โรงแรมที่กรีกไม่สู้จะดีในเรื่องสถานที่ ถ้าหาก
 จะอยู่โรงแรมพอนกลางราคาก็แตกต่างกันลิบ

ลิว ถ้าเป็นโรงแรมชั้น 1 แล้ว ค่าเบี้ยเลี้ยง
 ที่ได้ก็ไม่พอจ่ายค่าที่พัก แต่มีข้อคืออยู่อย่าง
 คือ โรงแรมที่กรีกจะรวมอาหาร 2 มื้อ คือ
 มื้อเช้า 1 มื้อ ส่วนอีก 1 มื้อให้ผู้พักเลือกทาน
 มื้อไหนก็ได้ คือมื้อเที่ยงหรือเย็น ก็เป็นการ
 ท่นค่าใช้จ่ายเรื่องการเดินทางไป 2 มื้อ ผู้เขียน
 เมื่ออาบนํ้าอาบท่าเรือบร็อกก็ลงมาห้องโถงของ
 โรงแรม เพื่อแลกเงินเตรียมตัวไปลงทะเลเบียน
 เข้าประชุม อัตราการแลกเปลี่ยนเงินตรา 1
 บาท เท่ากับ 1 แดร์กมา (Drachma) กับ
 50 เล็บตา (Lepta) เมื่อแลกเงินเรียบร้อยแล้ว
 จะเดินทางไปประชุม ผู้จัดการที่รับเข้ามา
 บอกว่า โดยปกติการทำงานของชาวกรีกจะ
 แบ่งเป็น 2 ช่วง คือ ช่วงเช้า ตั้งแต่ 8.00
 น. ไปจนถึงประมาณบ่ายสองโมง อีกช่วงจะ
 เริ่ม 17.00 น. ไปถึง 20.00 น. อาหาร
 เช้าจะเริ่มบริการตั้งแต่ประมาณ 7.30 น. -
 10.00 น. อาหารกลางวัน 12.30 น.-14.00
 น. อาหารเย็น 21.00-23.00 น. ซึ่งภาย
 หลังผู้เขียนก็ทราบว่าการประชุมวิชาการก็ได้
 จัดให้สอดคล้องกับเวลาดังกล่าวด้วย ผู้เขียน
 ได้เดินทางไปลง ทะเบียน ใน เช้าวัน นั้น ด้วย
 แท็กซี่ แท็กซี่ไซม์เคอร์ใน ๓ กิโลเมตรแรก
 จะคิด 7 แดร์กมา กิโลเมตรต่อไปจะคิด
 30 เล็บตา ฉะนั้นค่าแท็กซี่ที่กรุงเอเธนส์ค่อนข้าง

ข้างถูก และคนขับไม่ค่อยซีโก

สถานที่ประชุมจัดขึ้น 3 แห่ง แห่งแรก
 ซึ่งเป็นสถานที่รวม และมีการประชุมส่วน มาก
 คือ Panteios School of Economics
 and Political Science แห่งที่สอง คือ
 Evangelismos Hospital และแห่งที่สาม
 National Research Foundation การ
 เดินทางจากโรงแรมไปยังสถานที่ที่ประชุม จะมี
 รถบัสมาคอยรับตามจุดต่างๆ ซึ่งค่อนข้างจะ
 สะดวก การประชุมแบ่งออกเป็น 3 Part

Part I: เป็น Plenary Sessions ซึ่ง
 ผู้จัดการประชุมได้เชิญผู้เชี่ยวชาญ มาพูด เรื่อง
 สำคัญๆ ทางด้าน Tropical Medicine และ
 Malaria.

สำหรับ Plenary Sessions นั้น มีอยู่
 2 เรื่องใหญ่ๆ คือ Emerging patterns in
 Tropical Medicine ซึ่งศาสตราจารย์นาย
 แพทย์จำลอง หารินสุต คณะบดี คณะอายุร-
 ศาสตร์เซตวอน ก็ได้เป็นผู้บรรยายร่วมด้วยผู้
 หนึ่ง ซึ่งถือเป็นเกียรติอันสูงส่งยิ่งของประเทศ

เรื่องที่สองเป็นเรื่อง Development of
 concepts in antimalarial activities ผู้
 เขียนได้ฟังดูแล้ว รู้สึกเป็นการบรรยายถึงเรื่อง
 การรักษามาเลเรีย ตั้งแต่เริ่มแรกจนกระทั่งถึง
 ปัจจุบันเป็นการบรรยายที่ดีมากอันหนึ่ง

Part II: (Division A) มีทั้งหมด 44 sections เกี่ยวกับ Tropical Medicine ทุกสาขา ประกอบไปด้วยโรคทางปรสิต โรคทางเชื้อแบคทีเรีย, โรคไวรัส, โรคที่มีแมลงเป็นพาหะ, โรคเชื้อรา, การคุมกำเนิด, โรคของพืชของแมลงหรือจุ, โรคเนื้องอก, โรคริกเกตเซีย เป็นต้น ผู้จัดจะจัดเป็นกลุ่มๆ เพื่อความสะดวกในการเลือกเข้าฟัง สำหรับเรื่องที่ไม่สามารถจะจัดเข้ากลุ่มได้ ก็จะร่วมอยู่ในกลุ่มซึ่งเรียกว่า Communication ซึ่งเป็นกรายงานการวิจัย ของแต่ละบุคคล นำไปเสนอที่ประชุมเพื่อฟังข้อแนะนำ, ข้อคิดเห็น, คำติชมต่าง ๆ

Part III: (Division B) มีทั้งหมด 20 sections ที่เกี่ยวข้องกับมาเลเรีย ซึ่งได้กล่าวถึง Biology, วงจรชีวิต, genetic, Bio-chemistry, Immunology, Clinical Pictures, Epidemiology, anti-malarial drug, Eradication ของ Malaria รวมทั้งเรื่องของการยุงซึ่งเป็นพาหะด้วย และมี Communication แดมห้ายรายการ

การประชุมทั้ง 3 Parts นี้ เริ่มประชุมตั้งแต่วันที่ 15 ตุลาคม 2516 ไปสิ้นสุดในวันที่ 19 ตุลาคม 2516 เริ่มประชุมเวลา 9.00-13.00 น. ในภาคเช้า และ 16.00-19.30 น.

ในภาคบ่าย ใช้ห้องประชุมทั้งหมด 10 ห้อง ห้องใหญ่ 3 ห้อง สามารถแปลเป็นภาษาฝรั่งเศส, สเปน และรัสเซีย ได้ในเวลาเดียวกัน ส่วนมากผู้รายงานจะใช้ภาษาอังกฤษ และฝรั่งเศส เสียส่วนมาก ฉะนั้นผู้เขียนจะต้องวิ่งไปมาในระหว่าง 10 ห้อง ทุกวัน เพื่อเลือกฟัง Sections ที่สนใจ และจะเป็นประโยชน์เท่านั้น ไม่สามารถที่จะฟังทั้ง 10 ห้องได้

รายการท่องเที่ยว กรีซเป็นประเทศที่มีความเจริญมาตั้งแต่ สมัย ดึกดำบรรพ์ มาแล้ว ฉะนั้นสถานที่ ที่ท่องเที่ยวในกรีซ จึงเป็นสถานที่ที่โดยมีความรุ่งเรืองมาครั้งหนึ่ง และได้ถูกทำลายโดยพวกโรมันและพวกเตอร์กิก กรีซเคยเป็นเมืองขึ้นของเตอร์กิก ฉะนั้นวัฒนธรรมต่างๆ ของกรีซและเตอร์กิกจึงมีส่วนคล้าย ๆ กัน

Shopping ร้านค้ามักจะเปิดตามเวลาราชการ (ดังกล่าวข้างต้น) สินค้าต่างๆ มีราคาค่อนข้างแพง เมื่อเปรียบเทียบกับบ้านเรา กระเป๋าถือและพรม รัสเซียจะเป็นสินค้าที่ขึ้นชื่อของกรีซ

Entertainment ในระหว่างเดือนตุลาคม ที่ผู้เขียนไปร่วมประชมนั้นปรากฏว่า Entertainment ต่างๆ เช่น การแสดงการเต้นระบำของชาวพื้นเมือง, ในที่คลับ ฯลฯ ได้ลดลงเนื่องจากอยู่ในระยะเริ่มฤดูหนาว ส่วนมาก

การแสดงต่างๆ มักจะเริ่มต้นในระยษะฤดูร้อน

สถานที่ที่น่าท่องเที่ยว ในกรุงเอเธนส์ มีสถานที่ที่น่าเที่ยวคือ Acropolis ซึ่งเป็นเมืองโบราณตั้งอยู่บนเขา ทุก ๆ วันจะมีคนมาท่องเที่ยวเป็นจำนวนมาก ทำรายได้ให้แก่รัฐบาลกรีกเป็นจำนวนไม่น้อย และอีก 2 แห่งที่ผู้เขียนได้ไปเที่ยว ซึ่งเป็นเมืองโบราณเช่นเดียวกัน แต่อยู่ห่างออกไปจากกรุงเอเธนส์ซึ่งจะต้องใช้เวลาเดินทางไปกลับทุกวัน แห่งแรกที่เดินทางไปชมคือ Epiduros ซึ่งเป็นเมืองในยุคแรกของการแพทย์สมัยเริ่มต้น ณ ที่นี้ทางรัฐบาลกรีกได้เก็บรักษาเครื่องมือผ่าตัดในระยะเริ่มแรกในพิพิธภัณฑท์และเมืองโบราณอีก 2-3 แห่งในระหว่างทาง และสุสานฝังศพของชาวกรีกในระหว่างที่มีการรบพุ่งกับพวกอียิปต์ในสมัยโบราณ

แห่งที่สองมีชื่อว่า Delphi เป็นเมืองโบราณที่เพิ่งจะค้นพบ อยู่บนภูเขาสูงมากทีเดียว การเดินทางค่อนข้างจะอันตราย เพราะถนนทางคดเคี้ยวมาก อยู่ห่างจากกรุงเอเธนส์ประมาณ 175 กิโลเมตร

เมืองโบราณหรือสถานที่ทุกแห่งที่ไปชมมีส่วนที่น่าทึ่งก็คือ ทุกสถานที่มักจะมีสิ่งประดิษฐ์ที่อ่อนแอเกือบทั้งสิ้น และสร้างในสถานที่ที่ดูแล้วไม่น่าจะสร้างขึ้นได้ เช่นบนยอดเขา ในแง่ของสถาปัตยกรรมเป็นสิ่งที่น่าสนใจมาก ผู้เขียนมีความรู้สึกอยู่อย่างว่า ชาวกรีกโบราณคงจะเป็นคนชอบสนุก ร้องรำทำเพลง ไม่ว่าสถานที่ที่ใดที่ไปชม จะต้องมีการแสดง Theater ซึ่งเป็นคล้าย ๆ ละครที่มีสถานที่แสดง เกือบทุกแห่ง บางแห่งยังมี Stadium หรือสนามกีฬาเพิ่มขึ้นไปอีก.

อัตราค่าโฆษณาในระยะเวลา 1 ปี

The advertising rate per year

เต็มหน้า	600.00 บาท	Full page	600.00 bahts.
ครึ่งหน้า	400.00 บาท	Half page	400.00 bahts.
ปกหน้าด้านในเต็มหน้า	1200.00 บาท	Inside front cover	1200.00 bahts.
ปกหลังด้านในเต็มหน้า	1000.00 บาท	Inside back cover	1000.00 bahts.



LOCALIZED LEUKOCYTE MOBILIZATION STUDY IN THALASSEMIA, LEUKEMIAS AND SLE

By

Piyarat Saelim, B.Sc. (Med. Tech.)

Chalaw Buanamjued, B.Sc. (Med. Tech.)*

Panja Kulapongs, M.D., Dip. Amer. Bd. of Ped.**

ABSTRACT:

Localized leukocyte mobilization (LLM) study using qualitative skin window technique originally described by Rebeck and Crowley are performed in 13 healthy Thai adults. It was found that the time relationship and percentage of different cell types migration into the local exudate are differed significantly from those described by Rebeck and Crowley but comparable to those observed more recently by many investigators. The normal pattern of LLM was also found in patients with thalassemia and acute myeloblastic leukemia in remission. Decreased macrophage migration into the local exudate was found in 3 patients with SLE.

INTRODUCTION

Localized leukocyte mobilization (LLM) is a complex phenomenon, involving changes in the local microcirculation, migration of leukocytes, permeability changes within the vascular endothelium, and the active process of leukocyte emigration out of the vessel. This sequence of events has been mainly studied in the rabbit ear

chamber (1-3) and can be locally induced with a variety of mechanical, thermal, and chemical stimuli. The introduction of the skin window technique by Rebeck and Crowley (4) has greatly stimulated the qualitative study of induced inflammatory exudates in man. Several quantitative modifications of the coverslip technique have been attempted with varying results

* Department of Pathology, The Faculty of Medicine, Chiang Mai University.

** Department of Clinical Microscopy, the Faculty of Associated Medical Sciences Project, Chiang Mai University.

(5-7). Senn et al (7) by using the plastic skin-chamber technique have found three different patterns of leukocyte mobilization in normal individuals i.e. "peak", "up-slope" and "high-plateau" types. The physiologic significance of different kinetic leukocyte mobilization type is still unknown. In addition, even in the normal individual the number of leukocytes migrated into the skin chamber varied as much as 7 folds (7). In the light of the knowledge that the time relationships of leukocytic exudation into areas of experimental bacterial invasion is of great importance in limiting the spread of infection (8) and may somehow be involved in the initiation or stimulation of wound healing (9), the qualitative Rebeck skin window technique is adequate for clinical study.

Perillie in 1960 (10) confirmed earlier findings of Rebeck and Crowley (4) that at about 1 to 1.5 hours following injury (skin window procedure) a heavy concentration of mature neutrophilic granulocytes was noted on the coverslip. This phase persisted for the first 6 to 8 hours of the nonspecific inflammatory cycle with only minor participation by histiocytes, lymphocytes and eosinophils. At the eighth to tenth hour, mature lymphocytes began appearing in increasing numbers and by the fourteenth hour they made up about 50 per-

cent of the local cellular exudate. The next phase is the presence of sessible macrophages in an increasing number so that by the twenty-second to twenty-fourth hour they comprised over 80 percent of the cells present.

Kulapongs and associates (11, 12) in an attempt to study the defense mechanism in children with protein calorie malnutrition observed a unique pattern of LLM in healthy children and adults which is markedly different from those reported by Perillie and Finch (10). They have found that there is no significant number of lymphocytes present at any time and there is only moderate number of macrophages (less than 50 percent) at the twenty fourth hour of the inflammatory cycle. These findings agreed with those of Senn et al (7) and more recently confirmed by Freyre and associates (13).

We are reporting our findings of the typical LLM pattern in normal healthy adults, the patients with acute leukemia, thalassemia and SLE.

MATERIAL AND METHOD

The normal subjects were 13 medical technology students. They were hematologically normal and free from illness or recent infection. The method employed was a modification of the glass coverslip technique originally described by Rebeck and Crowley (4). The skin over a small

area of the volar surface was shaved, prepared with iodine and alcohol and then was scraped with a sterile scalpel until the capillary layer of the corium was exposed. The approximately 1×1 cm. lesion was then covered with a sterile coverslip which in turn was surmounted by a clean 1×1.5 inch glass slide and large adhesive tape. The cover slips were removed and replaced by a new one at 2, 4, 6, 8, 12 and 24 hours, air-dried, stained with Wright's stain and mounted on glass slides. The preparations were then examine microscopically. Each preparation was carefully examined with a low power lens and its relative cellularity determined and graded as 0 to 4+ (10) or scored by using grid (12) up to the maximum of 100. The differential cell count of 500 cells were done by the "fixed" method (14).

The stimulated lesion were done by applying a drop of tuberculin solution (1:1,000 dilution of old tuberculin) or diphtheria toxoid before applying the coverslip. Generally all 3 lesion sites of the "non-stimulated" and "stimulated" were done simultaneously on the same arm or the opposite arm.

RESULTS

The pattern of different cell types appeared in the local exudate on the coverslip is shown in Table I - III below.

During the first 2 hours there are minimal cell migration to the skin lesion but most of them were polymorphonuclear neutrophils. The local exudates contained increasing amount of migrated cells with maximum between 16 - 24 hours. Results of differential cell counts done in these healthy individual confirmed the previous findings of Kulapongs and Thongtong (11; 12) that the percentage of polymorphonuclear neutrophils (PMNs) in the local exudate decreases with time from almost 100 percent at 2 hour to about 50 percent at 24 hour. Eosinophils and basophils were present in a very small amount not exceeding 0.7 percent. Small lymphocytes started appearing in the local exudate at 4 hour with increasing amount to slightly over 1 percent at 24 hour. Monocytes and macrophages accumulated increasingly with time until reaching 45 percent range at 24 hour. The results obtained from stimulation with tuberculin and diphtheria toxoid were practically identical to the nonstimulated lesion.

Normal pattern of LLM was found in 3 patients with beta thalassemia syndrome and 2 patients with AML during remission. Three patients with systemic lupus ery thematosus have shown an unusual pattern of decreased macrophage at 24 hour period even when stimulated with tuberculin or diphtheria toxoid. L.E. cell has never been found in the local exudate of these 3 patients.

TABLE I-III: TYPES OF CELLS MIGRATE TO THE SKIN WINDOW (MFAN \pm S.E.)

I. NON-STIMULATED PREPARATIONS

Hours	Neutrophil	Macrophage	Lymphocyte	Eosinophil	Basophil
2	99.69 \pm 0.23	0.09 \pm 0.08	0	0.22 \pm 0.21	0
4	91.72 \pm 1.86	7.53 \pm 1.76	0.03 \pm 0.03	0.66 \pm 0.28	0.06 \pm 0.04
6	76.87 \pm 3.34	22.07 \pm 3.21	0.37 \pm 0.09	0.20 \pm 0.09	0.08 \pm 0.06
8	66.43 \pm 4.49	32.85 \pm 4.49	0.30 \pm 0.13	0.28 \pm 0.20	0.15 \pm 0.09
12	58.02 \pm 5.15	39.09 \pm 5.29	0.81 \pm 0.17	0.24 \pm 0.10	0.28 \pm 0.12
24	52.55 \pm 4.24	44.53 \pm 3.75	1.18 \pm 0.27	0.23 \pm 0.09	0.68 \pm 0.27

II. STIMULATION WITH TUBERCULIN SOLUTION

Hours	Neutrophil	Macrophage	Lymphocyte	Eosinophil	Basophil
2	99.26 \pm 0.27	0.28 \pm 0.12	0	0.45 \pm 0.21	0
4	93.40 \pm 1.88	10.60 \pm 1.93	0.08 \pm 0.04	0.28 \pm 0.13	0.06 \pm 0.05
6	76.61 \pm 2.97	21.93 \pm 3.30	0.15 \pm 0.67	0.49 \pm 0.16	0.06 \pm 0.05
8	62.51 \pm 3.73	36.52 \pm 3.67	0.30 \pm 0.11	0.51 \pm 0.15	0.15 \pm 0.08
12	61.20 \pm 5.33	36.00 \pm 5.30	2.20 \pm 0.19	0.40 \pm 0.16	0.20 \pm 0.19
24	55.90 \pm 0.21	42.23 \pm 6.73	1.28 \pm 0.17	0.35 \pm 0.13	0.60 \pm 0.25

III. STIMULATION WITH DIPHTHERIA TOXOID

Hours	Neutrophil	Macrophage	Lymphocyte	Eosinophil	Basophil
2	98.71 \pm 0.51	0.38 \pm 0.16	0	0.52 \pm 0.35	0
4	89.50 \pm 2.07	14.12 \pm 5.01	0.05 \pm 0.03	0.68 \pm 0.35	0.03 \pm 0.03
6	72.05 \pm 3.17	27.42 \pm 3.16	0.11 \pm 0.04	0.37 \pm 0.14	0.05 \pm 0
8	62.15 \pm 3.17	35.62 \pm 2.99	0.26 \pm 0.11	0.49 \pm 0.23	0.17 \pm 0.07
12	56.18 \pm 5.00	42.88 \pm 5.25	0.66 \pm 0.20	0.54 \pm 0.26	0.32 \pm 0.12
24	48.73 \pm 0.95	49.09 \pm 6.58	1.18 \pm 0.29	0.35 \pm 0.14	1.03 \pm 0.38

COMMENTS

The morphologic characteristics of the inflammatory exudate are easily reproducible. The injury produced by the abrasion and the continued application of the coverslips is sufficient to reproduce the complete inflammatory cycle described by Rebeck and Crowley (4) using tuberculin solution and diphtheria toxoid. The neutrophilic granulocyte is considered the cell of major importance during earliest phase of the local inflammatory reaction which determines the success or failure of microbial invasion (15). Its prompt arrival in adequate numbers at the site of injury constitutes the first line of defense against such invasion. The delayed and diminished granulocyte response has been interpreted as a partial explanation for the susceptibility of leukemia (5, 10, 16, 17) uncontrolled diabetes (18), alcoholism (19), and a child with the presence of serum leukotaxis inhibitor (20), to infection. During early stages of inflammation, phagocytosis is attributable almost entirely to polymorphonuclear neutrophils (PMNs) probably for the simple reason that these cells are abundant in the circulation and most readily invade the area of injury. The PMNs are blood-borne as functionally mature cells and are attracted to the invading microorganisms or their product through positive chemotaxis. Bell

et al (21), had demonstrated that the antibacterial functions of leukocytes derived from inflammatory exudates after dermal abrasion (skin window technique) and those derived from peripheral blood were comparable, suggested that, at least in normal subjects, leukocytes do not undergo a functional alteration during the complex process of tissue mobilization. Later in the inflammatory process, the major phagocytic cell type present is the macrophage. This cell type may either be blood-borne in the immature form, the monocyte (22-24), or may arise from the differentiation and proliferation of cells at the site of inflammation (25). Rebeck and Crowley's data (4) obtained with skin window technique supported the earlier belief that lymphocytes can transform to macrophage. Recent reports of both in vitro and in vivo experiment lend its strong support (24). In either case, maturation continues at the inflammatory site. Eosinophils and basophils are usually present in a very small percentages. Eosinophils are being postulated to represent a cellular aspect of the immediate-type hypersensitivity (26) since high eosinophil count is found in the skin window of atopic patient stimulated locally with offending allergen.

The typical LLM pattern in the patient with acute leukemia consisting of delayed in the initial PMN response. In comparison

with normal control, the initial response is sparse, and maximal cellularity develop more slowly (5, 10, 16, 17). These abnormalities returned to normal during remission as observed by these investigators and in our patients. The finding of decreased macrophage population in the local exudate of our patients with SLE is confirmed by the similar result obtained after diphtheria toxoid stimulation. These may related to the decreased cell-mediated immunity state as seen in malnourished children (12, 13). We have not seen L. E. cell in the local exudate as observed by Perillie et al (27). The association of frequent infections and thalassemia syndrome is well known. The underlying mechanism of its unusual susceptibility is still unknown. The review of this particular subject including its

immunological status, phagocytic killing function, opsonin activity, Tuftsin activity and febrile response in thalassemia will be published by the author (P.K.).

CONCLUSION

Our findings of localized leukocyte mobilization study using qualitative Rebuck skin window in healthy Thai adults are significantly differed from those originally reported by Rebuck and Crowley (4) and Perillie et al (10) but identical to the more recent works by Senn et al (13). By using this technique, we have found that the LLM in the patients with acute myeloblastic leukemia in remission and patients with thalassemia are normal, but the macrophage migration or transformation at the inflammatory site in patients with ESL are decreased significantly.

REFERENCES

1. Cliff, W.J.: The acute inflammatory reaction in the rabbit ear chamber with particular reference to the phenomenon of leukocyte emigration. *J. Exp. Med.* 124 : 543, 1966.
2. Allison, F., Jr., Smith, M.R., and Wood, W.B.: Studies on the pathogenesis of acute inflammation. I. The inflammatory reaction to thermal injury as observed in the rabbit ear chamber. *J. Exp. Med.* 102 : 655, 1955.
3. Graham, R. ., Ebert, R.H., Ratnoff, O.D., and Moses, J.M. ; Pathogenesis of inflammation. II. In vivo observations of the inflammatory effects of Hageman factor and bradykinin. *J. Exp. Med.* 121 : 807, 1965.
4. Rebeck, J.W., and Crowley, J.H.: A method of studying leukocyte function in vivo. *Ann. N.Y. Acad. Sci.* 59 : 757, 1955.
5. Perillie, P.E. and Finch, S.C. : Quantitative studies of the local exudative cellular reaction in acute leukemia. *J. Clin. Invest.* 43 : 425, 1964.
6. Southam, C.M. and Levine, A.G. : A quantitative Rebeck technique. *Blood* 27 : 734, 1966.
7. Senn, H., Holland, J.F., and Banerjee, T. : Kinetic and comparative studies on localized leukocyte mobilization in normal man. *J. Lab. Clin. Med.* 74 : 742, 1969.
8. Ward, P. A., Cochrane, C. G., and Muller - Eberhard, H. J. : Further studies on the chemotactic factor of complement and its formation in vivo. *Immunology* 11 : 141, 1966.
9. Edwards, L.C., and Lunphy, J.E. : Wound healing. I. Injury and normal repair. *New Eng. J. Med.* 259 : 224, 1958.
10. Perillie, P.E., and Finch, S.C. : The local exudative cellular response in leukemia. *J. Clin. Invest.* 39 : 1353, 1960.
11. Thongtong, P., and Kulapongs, P. : The pattern of leukocyte mobilization in Thai population. Report on Elective Course in Hematology. 1972.
12. Kulapongs, P. : Leukocyte mobilization mechanism in children with protein calorie malnutrition. Annual Meeting of the Pediatric Society of Thailand April 1973.
13. Freyre, E.A., Chabes, A., Poemape, O., and Chabes, A. : Abnormal Rebeck skin window response in kwashiorkor. *J. Pediat.* 82 : 523, 1973
14. Garrie, S.A., and Wolf-Jurgensen, P. Comparison of methods of counting

- skin window coverslips. *J. Allergy. Clin. Immunol.* 49 : 238, 1972.
15. Miles, A.A., Miles, E.M., and Burke, J.: The value and duration of defense reaction of the skin to the primary lodgement of bacteria. *Brit. J. Exp. Path.* 38 : 79, 1957.
 16. Holland, J.F., Senn, H., and Banerjee, T.: Quantitative studies of localized leukocyte mobilization in acute leukemia. *Blood* 37 : 499, 1971.
 17. Banerjee, T.K., Senn, H., and Holland, J.F.; Comparative studies on localized leukocyte mobilization in patients with chronic myelocytic leukemia. *Cancer* 29 : 637, 1972.
 18. Perillie, P.E., Nolan, J.P., Finch, S.C.: Studies of the resistance of infection in diabetes mellitus: Local exudative cellular response. *J. Lab. Clin. Med.* 59 : 1008, 1962.
 19. Brayton, R.G., Stokes, P., Schwartz M.S., and Louria, D.B.: Effect of alcohol and various diseases on leukocyte mobilization, phagocytosis and intracellular bacterial killing. *New Eng. J. Med.* 282 : 123, 1970.
 20. Smith, C.W., Hollers, J.C., Dupree, E., Goldman, A.S., and Lord, R.A.: A serum inhibitor of leukotaxis in a child with recurrent infections. *J. Lab. Clin. Med.* 79 : 878, 1972.
 21. Bell, M.L., Clay, R.C., Howe, C.W., and Rutenberg, A.M.: Antibacterial properties of human inflammatory leukocytes: A comparison with leukocyte derived from peripheral blood. *J. Reticuloendo. Soc.* 11: 167, 1972.
 22. Volkman, A., and Gowans, J.L.: The production of macrophages in the rat. *Brit. J. Exp. Path.* 46 : 50, 1965.
 23. Trepel, F., and Begemann, H.: On the origin of the skin window macrophages. *Acta Haemat.* 36 : 386, 1966.
 24. Pearsall, N.N., and Weiser, R.S.: The Macrophage. Lea & Febiger, Phila. 1970.
 25. Libansky, J: The source of mononuclears at site of inflammation. *Blut* 13 : 20, 1966.
 26. Sidinger, D., Wilkinson, R., and Rose, B.: A study of cellular response in immune reaction utilizing the skin window technique. *J. Allergy* 35 : 77, 1964.
 27. Perillie, P.E., Calabresi, P., and Finch, S.C.: Demonstration of L.E. cell at local inflammatory site in patient with systemic lupus erythematosus. *New Eng. J. Med.* 263 : 1052, 1960.

ย่อเรื่อง

ได้ทำการศึกษาถึง Localized leukocyte Mobilization (LLM) คือการเคลื่อนที่ของเม็ดเลือดขาวมาบ่งชี้เชื้อโรค ซึ่งจะเข้ามาทางบริเวณผิวหนัง โดยใช้วิธี qualitative skin window technique ของ Rebeck และ Crowley

ในการทดลองกับคนปกติ 13 คน พบว่าเม็ดเลือดขาวชนิดต่างๆ ที่ migrate ออกมาในช่วงเวลาหนึ่งๆ นั้น แตกต่างจากผลการทดลอง

ของ Rebeck และ Crowley โดยสิ้นเชิง แต่ใกล้เคียงกับผลการทดลองอื่นๆ ในระยะหลังๆ อีกหลายอัน

นอกจากนี้ยังได้พบอีกว่า คนไข้ที่เป็น Thalassemia และ Myeloblastic Leukemia ก็ได้ผลแบบเดียวกับคนปกติทุกอย่าง แต่คนไข้ 3 คนที่เป็น SLE จะมี macrophage ออกมาน้อยลงกว่าปกติ.



OXFORD SAMPLERS

Precision $\pm 1\%$

Disposable tips eliminate cross-contamination and are non-wetting, providing the advantage of a rapid "to deliver" technique while retaining the "to contain" precision. Available in single ranges: 10, 20, 25, 50, 100, 200, 250, 300, 500 ml and 1 ml; multiranges: 20 and 50, 50 and 100, 100 and 200, 200 and 500, 300 and 1000, 500 and 1000, 50-100-200 and 200-500-1000 ml.



OXFORD PIPETORS

Both the 0.1 to 1.0 ml and the 1.0 to 10.0 ml Pipetors have a reproducibility of $\pm 0.5\%$.

Reagents contact only glass and Teflon. All parts are modular. Mouth pipetting and meniscus reading is eliminated.



2 LOURDES CENTRIFUGES FROM VERNITRON

Guard bowl and cover made of heavy gauge drawn steel for complete operator protection.

Finished inside in white enamel, outside in attractive hammertone.

Automatic snap cover lock.

Uni-body welded construction and dynamically balanced rotors assure smooth, quiet performance.

Heavy-gauge steel, attractive hammertone finish.

Special rubber feet prevent dangerous "creeping".

CHT Clinical Centrifuge.

Micro-Hematocrit Centrifuge.



Vernitron Medical Products, Inc.

รัชมลร์

111 ทองหล่อซอย 5 สุขุมวิท 55 กรุงเทพฯ
โทร. 913143, 924100
(ผู้แทนจำหน่ายแต่ผู้เดียว ในประเทศไทย)



CHOLESTEROL AND PHOSPHOLIPID CONTENT OF RED CELL MEMBRANE:

I. HEALTHY YOUNG CHILDREN AND PREGNANT WOMEN.

By

Pramote Teowsiri, B.S. (Med. Tech.)*

Sanong Chaiyarsmee, B.S. (Med. Tech.), M.T. (ASCP)**

Orapin Chaiyarsmee, B.S. (Med. Tech.), M.T. (ASCP)**

Panja Kulapongs, M.D., Dip. Amer. Bd. of Ped.

ABSTRACT.

The lipid layer of red cell membrane is composed primarily of phospholipids and non-esterified cholesterol. Bidirectional red cell-plasma exchange of lipids have been demonstrated. The significant difference between the values of red cell membrane lipids from different laboratories is partly due to the dietary difference in the population studied. Abnormalities in the lipid content of the red cell membrane has been demonstrated in liver diseases, lipidoses and protein caloric malnutrition. It is essential that the normal value must be established for our further study. The red cell membrane cholesterol content of healthy young children and uncomplicated pregnant women are $21.60 \pm 5.86 \times 10^{-12}$ mg./RBC and $25.97 \pm 9.69 \times 10^{-12}$ mg./RBC respectively; and the red cell membrane phospholipid (as lecithin) contents are $28.93 \pm 4.00 \times 10^{-12}$ mg./RBC and $30.80 \pm 8.77 \times 10^{-12}$ mg./RBC respectively.

According to the classical model of Davson and Danielli (1), a unit membrane red cell membrane structure proposed by consisted of a bimolecular leaflet of phos-

* Hematology Division, the Anemia and Malnutrition Research Center, Chiang Mai University.

** Dept. of Clinical Microscopy, the Faculty of Associated Medical Sciences Project, Chiang Mai University.

pholipids covered externally and internally by a layer of protein. The lipid layer is composed primarily of phospholipids and a non-esterified cholesterol. Reed et al(2) have found that human red cell lipids were comprised of approximately 65 per cent phospholipid, 23 percent cholesterol, 2 percent cholesterol esters, glycerides and free fatty acids. Although there is little or no de novo synthesis, the lipids of red cell membranes are metabolically active. Bidirectional red cell-plasma exchange of phospholipids such as lecithin and sphingomyelin (3), and non-esterified plasma cholesterol have been demonstrated (4, 5). Abnormalities in the lipid content of the red cell membrane has been found in patients with liver diseases (6-8), lipidoses (9-11) and acanthocytosis(12). Recently we have noticed the higher lipid content of red cell membrane in children with protein-calorie malnutrition (13) which decreased during dietary therapy similar to those observed in kwashiorkor by Coward (14). It is well known that there are still significant differences between the values of red cell membrane lipids from different laboratories (2, 15-17) which partly due to

the dietary difference in the population studied (18).

We are reporting the cholesterol and phospholipid content of red cell membrane of normal healthy young children and uncomplicated pregnant women.

MATERIAL AND METHODS.

Fasting heparinized blood samples were obtained from 6 healthy children (1-5 year) and 7 healthy pregnant women (during the third trimester period). After the routine blood cell counts and smears were done the blood samples were washed three times with 0.85% NaCl solution and resuspended. Quadruplicate aliquots of red cell membrane were extracted with isopropanol and chloroform (19). Lipid extracts were analyzed for cholesterol (20) and phospholipid content (21) expressed as 10^{-12} mg. of cholesterol and lecithin/RBC respectively.

RESULTS.

The results obtained are summarized as shown below. There is no statistical significant difference between these two groups of population studied.

No.	RBC Membrane Cholesterol ($\times 10^{-12}$ mg/RBC)		RBC Membrane Phospholipid ($\times 10^{-12}$ mg lecithin/RBC)	
	Healthy Children	Pregnant Women	Healthy Children	Pregnant Women
1	32.20	28.40	31.53	47.08
2	19.00	40.60	22.54	36.25
3	24.20	23.60	31.75	31.02
4	16.60	35.80	25.76	29.92
5	17.20	15.40	29.31	20.96
6	20.40	15.00	32.70	23.32
7	—	23.00	—	27.11
X	21.60	25.97	28.93	30.80
SD	5.86	9.69	4.00	8.77
SE	2.39	3.65	1.63	3.30

COMMENTS.

The results of our studies described above are comparable to those obtained from healthy village children (13). It is important to establish our normal values since it has been shown that alterations in the fatty acid content of red cell occurred following changes in food intake. This change in red cell membrane lipid composition occurs in several weeks, unlike the plasma lipids where the alteration occurs in a matter of days (18). The findings of increased content of both cholesterol and phospholipid in patients with various forms of liver diseases including hepatitis, cirrhosis and obstructive jaundice

(6-12) and protein calorie malnutrition (13,14) is of great interest. Various possible explanation has been explored. The activity of lecithin cholesterol acyltransferase (LCAT) which transfer a fatty acid from the beta-position of lecithin to cholesterol forming a cholesteryl ester, is decreased in various forms of liver disease (22). Thus if not causing red cell lipid accumulation itself, the relative lack of this enzyme may play a role in assuring the availability of lipids which can accumulate in the red cell. The other important factor in the presence of bill salt which may be responsible for the depression LCAT activity and cause the

acquisition, by the red cells of both cholesterol and surface area (7).

SUMMARY

Two major components of lipid fraction of red cell membrane are investigated in healthy young children and uncomplicated pregnant women to be used as the

standard reference for future study. The cholesterol content of red cell membrane in young children and pregnant women are 21.60 ± 5.86 and 25.97 ± 9.69 ($\times 10^{-12}$ mg/RBC) respectively. The red cell membrane phospholipid content are 28.93 ± 4.00 and 30.80 ± 8.77 ($\times 10^{-12}$ mg lecithin/RBC) respectively.

REFERENCES

1. Davson, H., and Danielli, J.F.: The permeability of natural membranes. Cambridge University Press, 1943.
2. Reed, C.L., Swisher, S.D., Marinetti, G.V., and Eden, E.G.: Studies of the lipids of the erythrocyte. I. Quantitative analysis of the lipids of normal human red blood cells. *J. Lab. Clin. Med.* 56:281, 1960.
3. Reed, C.F.: Studies of in vivo and in vitro exchange of erythrocyte and plasma phospholipids (Abstract). *J. Clin. Invest.* 38:1032, 1959.
4. Hagerman, J.S., and Gould, R.G.: The in vitro interchange of cholesterol between plasma and red cells. *Proc. Exp. Biol. Med.* 78:329, 1951.
5. Oliveira, M.M., and Vaughan, M.: Incorporation of fatty acids into phospholipids of erythrocyte membrane. *J. Lipid Res.* 5:156, 1964.
6. Nye, W.H.R., and Uarinetti, G.: Alterations in erythrocyte phospholipid produced by environmental changes. *Proc. Soc. Exp. Biol. Med.* 125:1220, 1967.
7. Cooper, R.A., and Jandl, J.H.: Bile salts and cholesterol in the pathogenesis of target cells in obstructive jaundice. *J. Clin. Invest.* 47:809, 1968.
8. Neerhout, R.C.: Abnormalities of erythrocyte stromal lipids in hepatic disease. *J. Lab. Clin. Med.* 71:438, 1968.
9. Balint, J.A., Nyhan, W.L., Lietman P., and Turner, D.A.: Lipid patterns in Niemann-Pick disease. *J. Lab. Clin. Med.* 58:548, 1961.
10. Balint, J.A., and Kyriakides, E.C.: Red blood cell stromal proteins in Tay-Sachs disease. *J. Lab. Clin. Med.* 68:855, 1966.

11. Hooghwinkel, G.J.M., van Gelderen, H.N., and Staal, A.: Sphingomyelin of red blood cells in lipidosis and in dementia of unknown origin in children. *Arch. Dis. Childh.* 44:197, 1969.
12. Ways, P., Reed, C.F., and Hanahan, D.J.: Red cell and plasma lipids in acanthocytosis. *J. Clin. Invest.* 42:1248, 1963.
13. Brown, K., Suskind, R., Lubin, B., Kulapongs, P., Leitzmann, C., and Olson, R.E.: The red cell membrane in protein calorie malnutrition. To be published.
14. Coward, W.A.: The erythrocyte membrane in kwashiorkor. *Brit. J. Nutr.* 25:145, 1971.
15. Farquhar, J.W.: Human erythrocyte phosphoglycerides. I. Quantitation of plasmalogens, fatty acids and fatty aldehydes. *Biochim. Biophys. Acta.* 60:80, 1962.
16. Hanahan, D.J., Watts, R.M., and Pappajohn, D.: Some chemical characteristics of the lipids of human and bovine erythrocytes and plasma. *J. Lipid Res.* 1:421, 1960.
17. Ways, P., and Hanahan, D.J.: Characterisation and quantification of red cell lipids in normal man. *J. Lipid Res.* 5:318, 1964.
18. Farquhar, J.W., and Ahrens, E.H.: Effects of dietary fats on human erythrocyte fatty acid patterns. *J. Clin. Invest.* 42:675, 1963.
19. Rose, H.G., and Ohlander, M.: Improved procedure for the extraction of lipids from human erythrocytes. *J. Lipid Res.* 6:428, 1965.
20. Zak, B.: Simple rapid microtechnic for serum total cholesterol. *Am. J. Clin. Path.* 27:583, 1957.
21. Bartlett, G.R., Phosphorus assay in column chromatography. *J. Biol. Chem.* 234:466, 1959.
22. Turner, K.B., McCormack, G.H., and Richards, A.: The cholesterol esterifying enzyme of human serum. I. In liver diseases. *J. Clin. Invest.* 32:801, 1953.

ย่อเรื่อง

ได้ทำการศึกษาและทดสอบทางห้องปฏิบัติการเกี่ยวกับปริมาณส่วนประกอบ 2 ส่วนใหญ่ของ Lipid คือ Cholesterol และ Phospholipids ของผนังเม็ดเลือดแดงในเด็กและหญิงมีครรภ์ปกติ เพื่อใช้เป็น Standard Reference ต่อไป

ชั้น lipid ของผนังเม็ดเลือดแดงส่วนใหญ่ประกอบด้วย Phospholipids และ non-esterified cholesterol เท่าที่ได้มีผู้ศึกษาและทดสอบทางห้องปฏิบัติการและได้ค่าปริมาณ

ต่างกัน อาจเป็นผลเนื่องจากอาหาร เป็นสาเหตุ และ ปริมาณ ผิด ปกติ พบ ได้ ใน โรค ของ ตับ, lipidoses และ PCM.

ค่าที่ได้จากการทดสอบ คือ ปริมาณ Cholesterol ของผนังเม็ดเลือดแดงในเด็กและหญิงตั้งครรภ์ปกติ เท่ากับ 21.60 ± 5.86 และ $25.97 \pm 9.69 (\times 10^{-12} \text{mg./RBC})$ ส่วนปริมาณของ Phospholipids คือ 28.93 ± 4.00 และ $30.80 \pm 8.77 (\times 10^{-12} \text{mg. lecithin/RBC})$ ตามลำดับ.



THE SERUM LIPIDS III. IN DIABETES MELLITUS

Muni Keoplung, M.D.*

Jit Jirratsatit, M.D.*

Nantaya Waiwatana, B.Sc. (Med. Tech.)**

Uncontrolled diabetes mellitus represents all types of secondary lipoproteinemias, although some may not mimic the primary pattern. The plasma is often the only window from which one can see the state of intracellular metabolism. The plasma lipoproteins usually serve this purpose better than chemical determinations of the plasma total lipid concentration. The lipoprotein patterns during the course of the disease should reflex effectiveness of therapeutic measures. These are particular views to be studied by the authors.

METHODS AND MATERIAL :

Both ambulatory and hospitalized diabetic patients totaling 50 were studied. None of them had hypertension or abnormal urinalysis besides some degree of glycosuria by Tes - Tape. (R) Fasting blood sugar between 80 - 100 mg% and negative or trace glycosuria (fasting) was classified as "excellent"; fasting blood sugar between 110 - 130 mg% with + or ++ of glycosuria (fasting urine) was classified as "good". There were 16 patients (male = 12, female = 4) with age range of 17 - 66 years in the "excellent" group and 19

patients (male - 7, female - 12) with age range of 16 - 63 years in the "good" group.

The serum lipids and lipoproteins were analyzed by the methods previously used.(1) The Technicon Autoanalyzer was used for the determination of serum glucose. All serum samples were obtained in approximately 6 - 12 hours postabsorptive period.

RESULTS :

In the "excellent" group alpha lipoprotein ranged from 6.8 - 31.0% with the mean of 20.5%; pre-beta lipoprotein range

* Department of Medicine, Faculty of Medicine, Chiang Mai University.

** Department of Clinical Chemistry, Faculty of Associated Medical Sciences Project.

from 8.6 - 38.2% with the mean of 23.4%; beta lipoprotein ranged from 21.9 - 44.0% with the mean of 33.8%; Albumin-bound free fatty acid ranged from 11.0 - 32.3% with mean of 20.4%.

The cholesterol level ranged from 110.0 - 275mg% with the mean of 173.50-mg%; 50.0 - 306.0 mg% with the mean of 161.7 mg% for triglyceride and 548.0 - 1565.0 with the mean of 966.6 mg% for total lipid.

In the "good" group the results were as follows :-

alpha lp.	— 9.6 — 31.7%,	mean — 21.9%
pre - beta lp.	— 19.6 — 32.6%,	mean — 24.4%
beta lp.	— 22.4 — 43.8%,	mean — 31.5%
AFA	— 16.2 — 30.1%,	mean — 23.2%
Cholesterol	— 133.0 — 370.0 mg%,	mean 215.9 mg%
triglyceride	— 30.0 — 464.0,	mean 170.0 mg%
total lipid	— 645.0 — 1555.0,	mean 1066.3 mg%

All data were summarized in tables I and II.

In tables III; IV, the data were obtained from 2 more groups consisting of 9 patients (41 - 74 years, 6 males and 3 females) in the "excellent" and 3 patients (51, 51, 60 years; 2 males and 1 female) in the "good" groups in whom hypolipidemic agents (Lipogeron; Lipostabil) were prescribed in addition to the hypoglycemic drugs. Only 3 new diabetic cases were studied. The result was shown in table V, VI. However, the severity of the disease amongst these cases was rather far different, therefore more studies should be done before one can jump to the conclusion.

COMMENTS

Even no serum lipid control of the

patients had been performed, yet from several investigators conclusion, we can assume that usually diabetes, especially, uncontrolled case has hypercholesterolemia, hyperglyceridemia and hyperphospholipidemia belonging to secondary lipoproteinemias almost all types (I, IV, V, (II, III)). (2, 3, 4, 5) After a successful management, all lipid levels will fall to normal. Some patients may have continued elevation of serum cholesterol concentration even after diet and insulin treatment. This phenomenon is more often seen in the juvenile diabetic though not rare in the older patients. The inability to restore the cholesterol level to normal is regarded as an unfavorable sign and complication risk.

The changes in free fatty acid are very labile but are good indicators of glucose utilizations; its level parallels the blood glucose level in diabetes, and in some ways, is better indication of the severity of the diabetic stage. The pre-beta, beta lipoproteins, albumin-bound free fatty acid, cholesterol and triglyceride in our "excellent" group get along well with "Reference values" (1) and in the "good" group, the cholesterol shows higher level (215.0: 173.50 mg%), the triglyceride, pre-beta lipoprotein and albumin-bound free fatty acid are somewhat different from the

"excellent" group but the averages are still considered in the ranges of the "Reference values".

This confirms the finding that patient, with well-controlled diabetes, usually shows no disturbance in lipid metabolism or alternation in the concentration of the serum lipid constituents. There has been no proof, so far, that hypolipidemic substances are beneficial or necessary in the treatment of secondary hyperlipoproteinemias. Further studies, with a good control group, must be done before the resolution can be made.

TABLE I.

SERUM LIPOPROTEINS IN CONTROLLED DIABETES MELLITUS

	Lipoproteins expressed in per cent						Albumin-bound free fatty acids in per cent	
	alpha		beta		pre-beta		Range	Mean
Age-yr. No.	Range	Mean	Range	Mean	Range	Mean		
Excellent group 16-66	6.8-31	20.5	8.6-38.2	23.4	21.9-44.0	33.8	11.0-32.3	20.4
Good gr. 16-63	9.6-31.7	21.9	19.6-32.6	24.4	22.4-43.8	31.5	16.2-30.1	23.2

TABLE II.

SERUM CHOLESTEROL, TRIGLYCERIDE AND TOTAL LIPIDS IN CONTROLLED D.M.

Age-yr.	No.	Cholesterol mg%		Triglyceride mg%		Total lipids mg%	
		Range	Mean	Range	Mean	Range	Mean
Excellent group 17-66	16	110-275	173.50	50-306	161.7	548-1565	966.6
Good gr. 16-63	19	133-370	215.9	30-464	170	645-1555	1066.3

TABLE III.

SERUM LIPOPROTEINS IN D.M. ON HYPOLIPIDEMIC AGENT IN ADDITION TO HYPOGLYCEMIC DRUGS

Age-yr. No.	Lipoproteins expressed in per cent						albumin-bound		
	alpha		beta		pre-beta		free fatty acids		
	Range	Mean	Range	Mean	Range	Mean	Range	Mean	
Excellent 41-74	9	12.7-26.5	19.7	20.1-40.5	31.1	20.4-49.1	30.6	5.7-35.2	18.2
Good 51, 51, 60	3	12.3-26.8-21.8	24.7	24.7-25.5-21.4	22.2	18.8-29.4	27.3	40.8-28.9-27.3	

TABLE IV.

SERUM CHOLESTEROL, TRIGLYCERIDE AND TOTAL LIPIDS IN D.M. ON HYPOLIPIDEMIC AGENTS IN ADDITION TO HYPOGLYCEMIC DRUGS:

Age-yr.	No.	Cholesterol mg %		Triglyceride mg%		Total lipids mg%	
		Range	Mean	Range	Mean	Range	Mean
Excellent 41-74	9	118.0-268.0	188.5	36.0-174.0	106.0	514.0-1221.0	859.0
Good 51, 51, 60	3	166-240-214		50-86-158		697-1060-1155	

TABLE V.

SERUM LIPOPROTEINS IN 3 NEW DIABITICS

Age-yr.	No.	Lipoprotein expressed in Percent			Albumin-bound free fatty acids in percent
		alpha	beta	pre-beta	
37, 35, 22	3	17.7, 16.0, 21.4	40.6, 28.6, 21.4	36.4, 42.8, 35.8	5.2, 12.6, 21.4

TABLE VI

SERUM CHOLESTEROL, TRIGLYCERIDE AND TOTAL LIPIDS IN 3 NEW DIABITICS.

Age-yr	No.	Cholesterol mg%	Triglyceride mg%	Total lipids mg%
37, 35, 22	3	139, 112, 256	146, 101, 140	759, 512, 100

REFERENCES

1. Keoplung, M., Jirratsatit, J., Waiwatana, N. : The serum lipids II. Reference values in Chiang Mai. Bull. Chiang Mai Med. Tech., 6: 195 - 200 - 1973.
2. Beaumont, J.L. et al : Classification of hyperlipidemias and hyperlipoproteinemias. Bull. Wld. Hlth. Org., 43: 891-908, 1970.
3. Fredrickson, D.S. ; Levy, R.I. : Fat transport in Lipoprotein in an integrated approach to mechanism and disorders. New Eng. J. Med., 267, 1967.
4. Hoffman, W.S. : Diabetes mellitus. The Biochemistry of Clinical Medicine, 177-207, Chicago, 1970, Year Book Medical Publishers, Inc.
5. Williams, R.H. : Lipid metabolism and lipopathies, the pancreas in diabetes. Textbook of Endocrinology, 1039-1110 658—749. Philadelphia. London. Toronto, 1968, W.B. Saunders Company.

ย่อความภาษาไทย

โรคเบาหวานทำให้เกิด Lipoproteinaemia แบบ secondary ได้ทุกชนิด แต่ถ้าสามารถควบคุมระดับน้ำตาลในเลือดได้ดีจนเป็นปกติแล้ว ไขมันทุกชนิดที่เพิ่มขึ้นจะลดลงสู่ระดับปกติ จากการวิจัยผู้ป่วยโรคเบาหวาน

ที่สามารถควบคุมระดับน้ำตาลในเลือดได้ดีมาก และได้ดีในโรงพยาบาลนครเชียงใหม่ พบว่าไขมันทุกชนิดในซีรัม อยู่ในระดับเดียวกับของคนปกติที่ได้รายงานไว้แล้ว



RADIOIMMUNOASSAY OF SERUM INSULIN BY PHADEBAS INSULIN TEST

Vachira Mokamol, M.D. *

Muni Keoplung, M.D. *

Jit Jiraratsatit, M.D. *

INTRODUCTION :

Various methods have been used to determine serum insulin level. However, most of these methods are perplexing and not suitable for clinical use. Until the introduction of radioimmunoassay techniques which offer high sensitivity, specificity and simplicity more than other biological methods, the clinical application, then, is widespread. In common, radioimmunoassay methods depend on ability of an antibody to bind its antigen which is labelled with radioisotope and its competitive inhibition of this reaction by the unlabelled antigen. The antibody-bound labelled and unlabelled antigen is separated from the unbound and the radioactivity in one or both of these two fractions is measured. Therefore, the reproductivity and accuracy depend on the purity of any specific antibody and completeness of its reaction with the antigen.

The purpose of this study is to assess the simplicity and accuracy of the "Phadebas" insulin test before it is accepted as a part of our clinical laboratory study and to determine the serum insulin levels in non-diabetic subjects.

MATERIAL AND METHODS :

Nine of the patients who were admitted to the medical and surgical wards of non-diabetic and non-pancreatic disease, were selected for study. The ages ranged from 14 to 61 years; all were male. They are Thais of same socio-economic level. Before and during the study period, they were allowed to eat three ordinary meals

* Department of Medicine, Faculty of Medicine, Chiang Mai University.

a day which were rather large and high in carbohydrate. The blood samples were drawn at 6:45, 9:00, 11:45 a.m., 2:00, 16:45 and 7:00 p.m. that was about 15 minutes before and 2 hours after each meal. The serum was separated and, as soon as possible, a part of serum was sent for glucose analysis, the other was kept frozen until the determination of insulin was done. Technicon-Autoanalyzer was used for the determination of serum glucose and "Phadebas" radioimmunoassay insulin kit was employed for the determination of insulin. The detailed principles and technical procedures are described in the manufacture's instruction manual. (1,2)

RESULT:

The table showed age; serum insulin and sugar values at various periods. The control fasting levels of insulin ranged from 8-112 Uu/ml (mean = 36.7). The maximum mean insulin output was at 9.00 a.m. that was 2 hours after breakfast. The control fasting serum sugar ranged from 70-95 mg% with the mean of 85.6. It reached highest peak (mean = 112.50) at 7:00 p.m.

The relationship between the serum insulin and serum sugar during the 12-hour study periods was shown in the figure. The upper graph represented the serum glucose and the lower graph represented serum insulin. Obviously, the

slopes and regression lines were almost entirely reconcilable except that at 7:00 p.m. where the serum sugar made an increase whilst the serum insulin made a fall.

DISCUSSION:

The radioimmunoassay methods enable one to determine very low concentrations of insulin in rather small samples of serum. As claimed by the manufacturer, the "Phadebas" insulin test offers a simple and accurate method for insulin determinations. It is practical and good results can be obtained for up to 4 months of proper storage at 2-8°C. After reconstitution, the I¹²⁵ insulin and insulin standard shelf life and storage is about one week at 2-8°C.

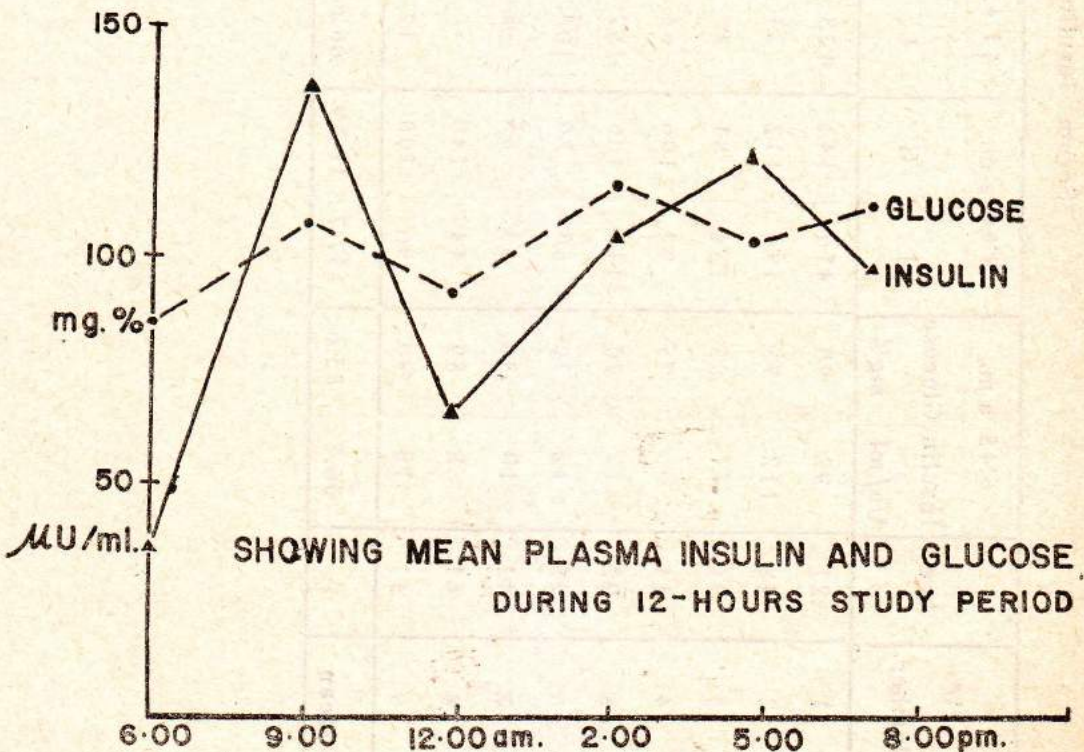
Its principle is described as follows: "An aliquot of the sample to be determined is mixed with a given amount of iodinated insulin (insulin I¹²⁵) and a certain amount of an immunosorbent consisting of Sephadex particles to which insulin antibodies have been coupled (Sephadex-Anti-insulin complex). After incubation, its particles are sedimented by means of centrifugation and washed, the radioactivity bound to the Sephadex particles is measured. The radioactive uptake on the immunosorbent varies inversely with the quantity of unlabelled insulin present in the original mixture".

This is not a time consuming but a rather simple method which requires less special instruments. However, our results are not as what we expected. More study should be done before it is definitely claimed. The volume of I^{125} insulin offered, seems to be unproportionally smaller than the rest of reagents. The price per test is economical but to use the whole lot of reagents in one group of study may lower to cost and avoid reconstitution of reagents, repeat freezing and thawing of insulin standard and insulin I^{125} .

The result of insulin secretory pattern seems to relate with meal and serum glucose except pre and post last meal period. It is not comparable with the pattern found in European people. Dietary pattern of having large three meals a day and some technical error should be considered.

ACKNOWLEDGEMENT :

The authors wish a thank Assistant professor Knut Schemmel of 2nd clinic of Internal medicine, Kiel, Germany for providing the insulin radioimmunoassay kit.



Serum Insulin and Glucose

Case Number	Age	6:45 a.m.		9:00 a.m.		11:45 a.m.		2:00 p.m.		4:45 p.m.		7:00 p.m.	
		Insulin Uu/ml	Glucose mg%	I	G	I	G	I	G	I	G	I	G
1	21	92	90	416	141	128	94	108	130	120	96	184	117
2	48	112	95	194	112	24	87	110	94	154	104	76	134
3	31	-	85	154	81	48	100	96	110	108	100	296	93
4	14	-	95	92	106	64	117	184	127	-	97	196	112
5	22	17	70	140	106	152	114	87	104	124	112	33	106
6	25	12	70	60	80	100	88	72	112	25	100	31	118
7	41	10	86	43	85	5	80	102	112	17	114	13	106
8	61	8	89	44	140	-	76	-	132	352	102	54	146
9	41	15	90	96	100	12	88	76	126	80	112	9	90
Mean		36.7	85.6	137.7	107.9	66.6	93.8	104.4	116.3	122.5	104.0	99.0	112.5

REFERENCES

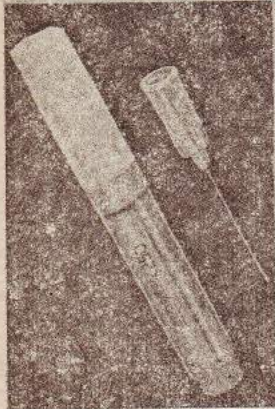
1. Phadebas insulin test instruction manual Pharmacia AB, uppsala, Sweden. 1972: Phadebas Insulin Test Instruction manual.
2. Simultaneous Glucose/BUN Method, Technicon Autoanalyzer, 1967.

ย่อเรื่อง

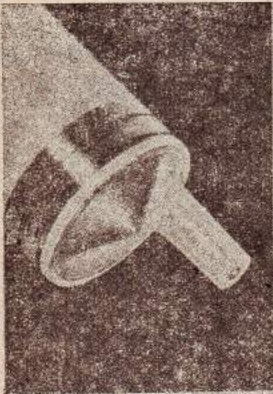
ได้ทดลองตรวจหาระดับของ serum insulin ในคนที่ไม่มีโรคเบาหวาน หรือโรคของตับอ่อน 9 คน เป็นชายทั้งหมด มีอายุตั้งแต่ 14-61 ปี โดยใช้ "Phadebas" radio-immunoassay insulin kit พบว่าจำนวนของการหลั่งของ insulin เปลี่ยนแปลงไปตามอาหารแต่ละมื้อ แต่รายละเอียดอื่น ๆ ไม่อาจใช้เปรียบเทียบ กับ ผล ของ การ ทดลอง ใน ต่าง

ประเทศ ทั้งนี้เพราะจำนวนยังน้อย และลักษณะอาหารที่ใช้บริโภคก็แตกต่างกันมาก

น้ำยา kit แบบนี้ใช้ง่ายสะดวก และถ้าจัดตรวจพร้อม ๆ กันหลาย ๆ คนเพื่อจะได้ใช้น้ำยาทั้งหมดเลย ก็จะเป็นการหุนค่าใช้จ่าย และป้องกันการเสื่อมค่าของ insulin ด้วย รายละเอียดอื่น ๆ ต้องรอผลของการศึกษาต่อไป.



monoject[®]



STERILE, DISPOSABLE

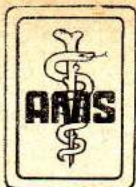
SYRINGES AND NEEDLES

A Sherwood MEDICAL INDUSTRIES, INC. U.S.A.



บริษัท วิทยาคอม จำกัด
VIDHAYAKOM CO., LTD.

158 ถนนสุขุมวิท กรุงเทพฯ โทร. 815211, 815520, 815737
158 PHAYATHAI RD., BANGKOK TEL. 815211, 815526, 815737
ผู้แทนจำหน่าย



THE RELATIONSHIP OF ROSETTE-FORMING CELL TO ANTIBODY TITER

Phanorsri Attanath, B.Sc. (Med. Tech.)*

Sanit Makonkawkeyoon, Ph. D.**

Abstract

Comparison of rosette-forming cell (RFC) and antibody titer in albino rats were carried out. The spleens and sera of injected rats were tested for RFC and antibody titer after injection of 2 per cent of sheep red blood cells for 5, 10, 17, 23, 30 and 35 days respectively. The peak of RFC is about 10 days with a maximum value of 4 per cent. Peak of antibody titer is also at the 10th day with a titer of 1:768. Therefore, there is a good correlation between RFC and antibody titer in this experiment.

Introduction

It is known that plasma cells and lymphocytes are the antibody synthesis cells in animals. The antibody will be secreted from the producing cells by mechanism of merocrine secretion. After injection of antigen into a rat, the antibody can be detected in 2-3 days and will be in maximum in 5-8 days (1). After 36 hours of injection of antigen, antibody forming cell can be found (3).

The purpose of this paper is to in-

vestigate the correlation between the amount of RFC and antibody titer in the rat. Another aim is finding the rate of increasing of antibody forming cell and antibody titer after injection of antigen in different times.

Materials and methods

Immunization of rats. Albino rats weighed 250-300 gm. were used for immunization with sheep erythrocytes. The sheep red blood cells were collected in

* Faculty of Tropical Medicine, Mahidol University, Bangkok.

** Department of Microbiology, Faculty of Medicine, Chiang Mai University, Chiang Mai.

Alsever solution and washed three times with normal saline solution. Rats were divided into two groups, and each group composed of 14 rats. The first one was a control group and injected with charcoal carbon suspension before injection of 2 per cent of sheep erythrocytes. The second group were injected intraperitoneally with 2 per cent sheep red blood cells.

Assay for Rosette Formation. The rats in the control and tested groups were killed at 5, 7, 10, 17, 23, 30 and 35 days after immunization. Spleen were collected from each rat and tested for RFC according to the method of Leechanachai et. al. (5).

Hemagglutination Assay for Antibody Titer. Sera from each rats were kepted at -20°C and inactivated at 56°C for 30

minutes before use. Serial two fold dilution of each sera was prepared from 1:4, 1:8, 1:16 until 1:4096. Sheep erythrocytes were added for determination of antisheep titer in each serum by hemagglutination method.

Results

Rosette-forming cells can be detected after 5 days of injection with two per cent of sheep erythrocytes. The maximum amount is at 10 days after injection of red blood cells (Table 1 and Figure 1).

Antibody titer in sera can be detected after 5 days of two per cent sheep erythrocytes injection. The titer is maximum at the 10th day (Table 1 and Figure 2).

The correlation of RFC and antibody titer in the experimental rats are shown in Figure 3.

Table 1. Comparison of Rosette-Forming Cells and Antibody Titer in Rats after Different Time of Erythrocytes injection

Days after RBC injection	Per cent of ^a		Antibody ^b	
	Rosette-Forming Cells		Titer	
	Tested	Control	Tested	Control
5	1.5	0	1:24	1:12
7	3.5	0	1:384	1:320
10	4.0	1.5	1:768	1:64
17	2.0	0	1:96	1:48
23	1.0	0	1:96	1:256
30	1.0	0	1:64	1:48
35	1.25	0	1:32	1:32

^a Average value of two experimental rats

^b Average antibody titer of two experimental rats

FIGURE 1.

PER CENT OF ROSETTE-FORMING CELLS IN DIFFERENT PERIOD OF TIME

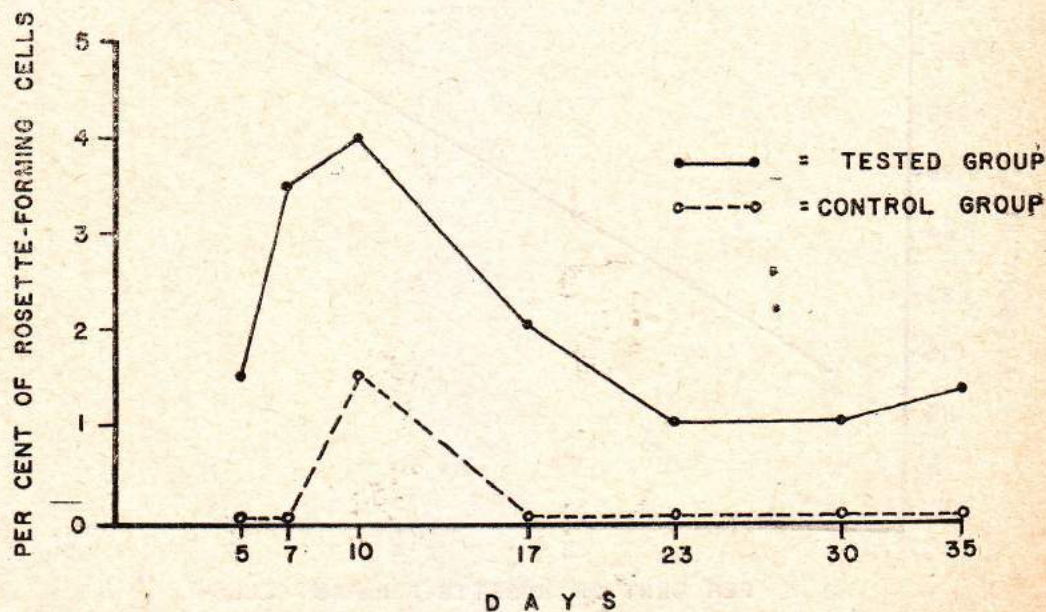


FIGURE 2.
ANTIBODY TITER IN RATS SERA FROM DIFFERENT PERIOD OF TIME

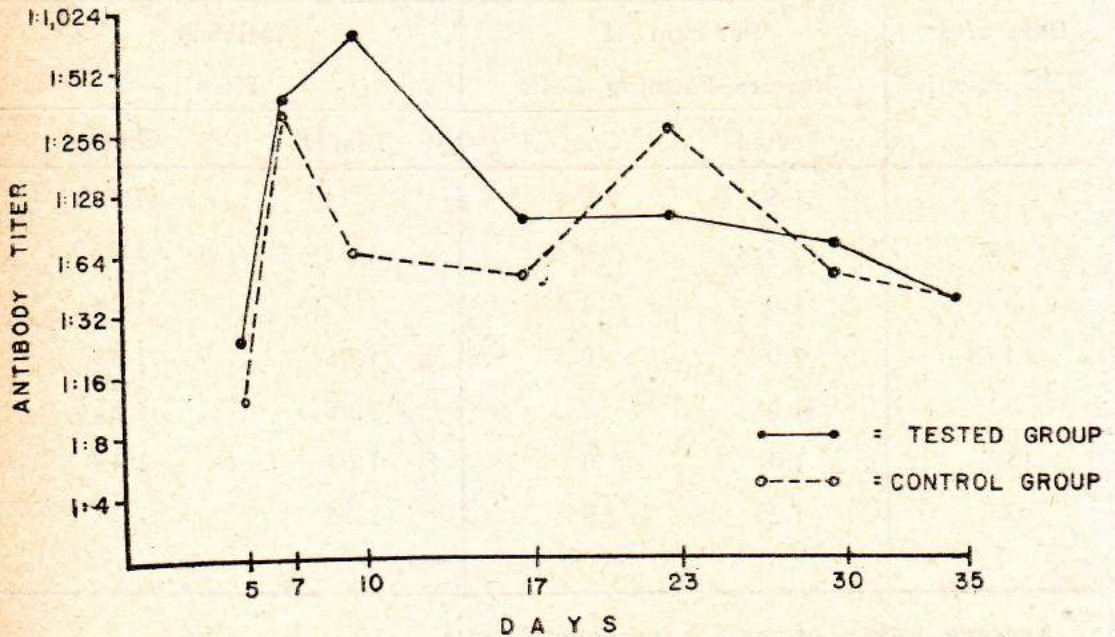
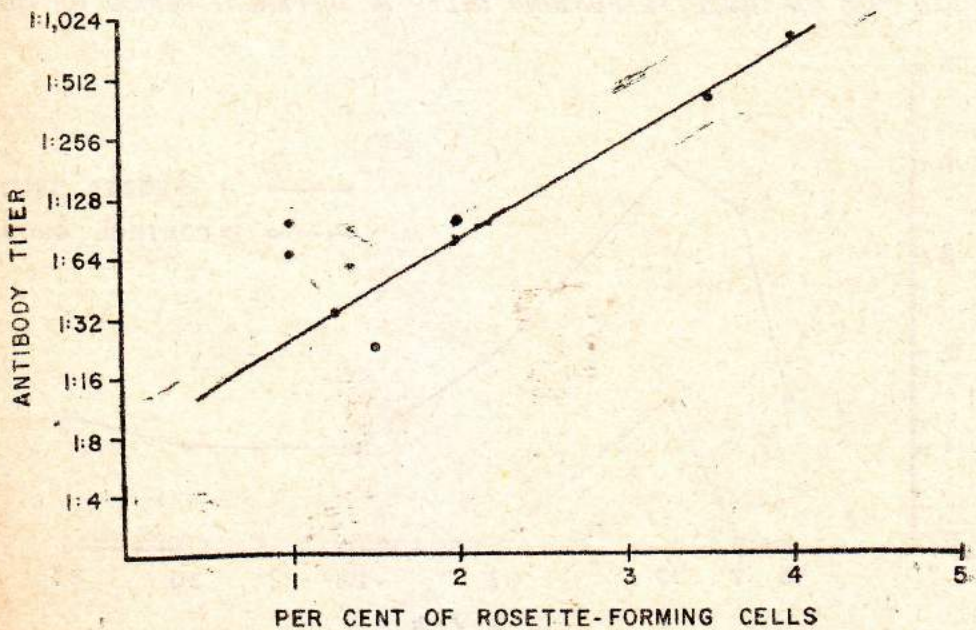


FIGURE 3.
CORRELATION BETWEEN ROSETTE-FORMING CELLS AND ANTIBODY TITER



Discussion

In this experiment, RFC from spleen of the injected rats can be detected at the 5th day and the peak is in the 10th day after injection of two per cent of sheep erythrocytes. Moav and Harris (2) and Wilson (4) studied the RFC in spleen of mice which had been injected with sheep erythrocytes, they found the maximum amount of RFC after 5-6 days of erythrocytes injection. However, Leechanachai and Makonkawkeyoon (5) reported the maximum amount of RFC in spleen of mice after injection of erythrocytes for 10 days. This different might be due to the

different techniques used in each study and the individue of each rat and mouse.

The correlation between amount of RFC and antibody titer in Figure 3 showed that when RFC were increased in number, antibody titer were also increased in proportion. Therefore, secretion of antibody from cells should occurred when the cells alive, otherwise RFC should be decreased in amount. The rate of antibody secretion from cells was rapid from the evidence that RFC and antibody titer were increased in the same time.

REFERENCES

1. Garvey, J.S. and Campbell, D.H.; The in vivo stability of antibody, *J. Exp. Med.*, 110:355-368, 1959.
2. Moav, N. and Harris, T.N.; Rosette-formation in relation to active synthesis of antibody, *J. Immu.*, 105:1501-1505, 1970.
3. Sterzl J. and Jilek, M.; Number of antibody-forming cells in primary and secondary reactions after administration of antigen, *Nature*, 216:1233-1235, 1967.
4. Wilson, J.D.; The relationship of antibody-forming cells to rosette-forming cells, *Immunology*, 21:233-245, 1971.
5. Leechanachai, P. and Makonkawkeyoon, S.; Studies on the competence of single cell to produce antibodies of two specificity by rosette-formation technique, *Bull. Chiang Mai Med. Tech.* 6:153-160, 1973.

ย่อเรื่อง

การศึกษาความสัมพันธ์ระหว่าง Rosette forming cell (RFC) และ Antibody titer ครั้งนี้ใช้ Albino rat. เป็นสัตว์ทดลอง โดยฉีด 2% SRBC เข้าทางหน้าท้อง และใช้ charcoal carbon ฉีดเข้าทางหน้าท้อง ก่อนจะมีการฉีด 2% SRBC 1 วัน ในหนูเป็น Control หลังจากนั้น 5 วัน, 10 วัน, 17 วัน, 23 วัน, 30 วัน และ 35 วัน นำ spleen ของหนู เพื่อนำมาหาจำนวน RFC พร้อมทั้งเก็บ Serum ของหนู เพื่อวัด Ab. titer โดยวิธี Haemagglutination ผล

การทดลองปรากฏว่า RFC ที่วัดได้ จะมี peak สูงสุด ประมาณวันที่ 10 จำนวนประมาณ 4% ส่วน Ab. titer ก็จะมี peak ประมาณวันที่ 10 เช่นเดียวกัน เมื่อหาค่า mean ของ Ab. titer ของหนู 2 ตัวพบว่า titer ประมาณ 1:768 และเมื่อนำผลของ RFC และ Ab. titer มาเปรียบเทียบกันแล้ว ปรากฏว่า RFC และ Ab. titer จะมีส่วนสัมพันธ์โดยตรง กับระยะเวลาหลังจากที่ฉีด SRBC ครั้งแรกแล้ว.





A STUDY OF THE SIZE, GROWTH RATE AND
SEROLOGY OF TRYPANOSOMA LEWISI INFECTION IN
WHITE RATS *

BY

Autai Thomyamonkol, B.Sc. (Med. Tech.) *

Niwat Nateewattana, B.Sc. (Med. Tech.) **

Lilit Hongsbhanich, M.D., Cert. in Microbial Diseases **

ABSTRACT :

The size and growth rate of the organism and serology of *T. lewisi* infections in white rats was studied. The size as reported by Taliaffero (1921) is within the range found in the present work (30 U in length and 1.5 U in breadth). Parasitaemia appears at around 20 days. In the early stage of growth the organism is polymorphic but later monomorphism prevails. The micro-agglutination test was performed using immune sera from convalescent rats against an antigen of living organisms. Clumping due to adhearance of the posterior ends of the organisms was frequently observed.

INTRODUCTION :

The flagellate, *Trypanosoma lewisi*, is a non-pathogenic blood parasite occurring in various species of rats all over the world. It is transmitted from rat to rat by fleas. *T. lewisi* is classified in sub-genus of *Herpetosoma* having an elongate curved body which is moderate in size, tapering at both ends. The large ovoid

nucleus is located just anterior to mid body. The small distinct spherical kinetoplast subterminal. The undulating membrane is only slightly convoluted.

In present study, *T. lewisi* was kindly provided by Prof. Robert G. Yeager of the Department of Parasitology, School of Public Health and Tropical Medicine,

* Part of this work had been submitted to The Faculty of Medicine, Chiang Mai University in partial fulfillment of the requirement for the B.Sc. (Med. Tech.) degree.

** Department of Parasitology, Faculty of Medicine, Chiang Mai University.

Tulane University. This strain of *T. lewisi* has been regularly transferred in white rats every 15 days for three years in this laboratory. The present work concerns studies on the size and growth rate of the organisms and serological reactions of the host to infection.

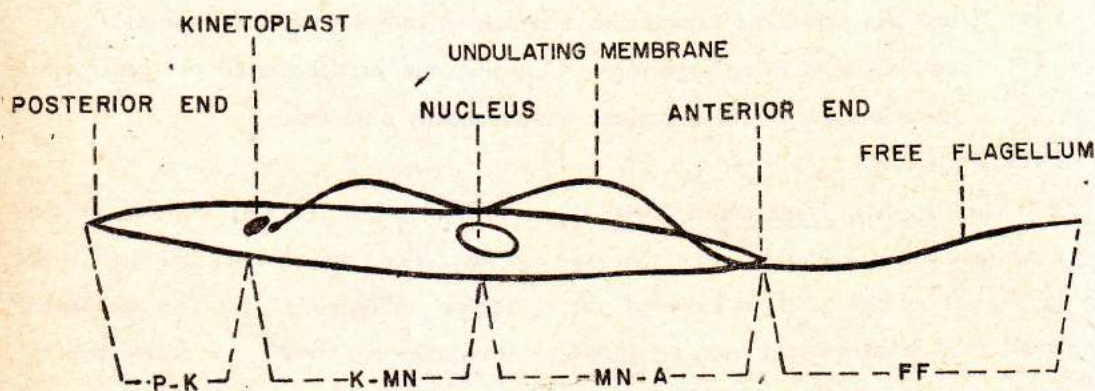
MATERIALS AND METHODS :

Thin blood films were prepared from tail vein blood of white rats infected with *T. lewisi* in the later phase around 10 days post infection. The blood films were

fixed in absolute methanol for 1 minute and stained with dilute Giemsa's stain (1:50) for 45 minutes. The following morphological landmarks of typical adult form (Fig. I) were measured : size of kinetoplast and nucleus; the distance from posterior end to the center of kinetoplast (P-K); the distance from center of the nucleus (K-MN); the distance from the center of the nucleus to the anterior end (MN-A); the length of free flagellum (FF); the total length (TL) and the maximum width of parasites (W).

FIGURE I.

DIAGRAM OF *Trypanosoma lewisi* SHOWING THE PART OF THE ORGANISM AND THE DISTANCES MEASURED IN THIS STUDY



The study of growth rate was performed by both direct and indirect methods.

In the direct method counts of organism were made in known volumes of blood using Toison's fluid* as a diluent.

* Toison's fluid :- Na_2SO_4 ; 8 gm, glycerine 30 ml, crystal violet 10 mg. and distilled water g. s. added to 160 ml.

Peripheral blood from the tail vein was drawn to the 0.5 mark of a calibrated white count pipette, excess blood was wiped off the pipette tip and sufficient Toison's fluid was drawn to bring the total volume up to the 11 mark. The solution was mixed by vigorous shaking and a portion was added to a hemocytometer for enumeration. By touching a drop of solution at the junction of the chamber and cover slip, the solution flowed smoothly into the chamber by capillary attraction. The completely filled chamber was allowed to stand for 2-3 minutes allowing the parasites to settle. For enumerating the total number of parasites, the numbers of parasites in 40 of the smallest squares (for red blood cells counting) was multiplied times 20,000 to the approximate number of parasites per ml. of blood.

Using indirect method, the number of parasites per 100 white blood cells in Giemsa's stained thin blood of tail blood was determined by microscopic examination under the oil immersion objective. At the same time total white blood counts of peripheral blood from the same rat were performed. From these two data the total number of parasites per ml. could be estimated.

The micro-agglutination test was performed. Using two to three ml. of hepa-

rinized heart blood collected from an infected rat during the period of peak parasitaemia about 8 days post infection. Phytohaemagglutinin was added to the blood in a final concentration 1%. The blood was centrifuge at 2,000 r.p.m. for 10 minutes. The supernatant plasma was siphoned off and the whitish layer above the sediment was collected. This layer was composed mostly of parasites and some white blood cells. The parasites were washed with normal saline two or three times and resuspended to give a final of approximately 2×10^6 organisms/ml. This suspension served as living antigen.

Immune sera were collected from convalescent rats about 1 month post infection. Prior to the test sera were incubated at 56°C. for 45 minutes to destroy the complement. Serum dilution of 1:5, 1:10 and 1:50 were prepared using normal saline as an diluent. The microagglutination test was performed in "microconcavity slides". Brief serial dilution of 1:5, 1:10 and 1:50 were prepared and 0.1 ml. of each dilution was mixed with 0.1 ml. of antigen which in consecutive wells. The slide was left at room temperature for 1 hour, after the agglutination reaction was observed under the microscope. The following arbitrary criteria were recorded for each dilution.

Degree of agglutination	Description	Floccule size (U)
0	No agglutination	-
1 ⁺	1-5 floccules/field	50-100
2 ⁺	6-10 floccules/field	50-150
3 ⁺	10 floccules/field	100-250
4 ⁺	complete agglutination	250-500

RESULTS.

The measurement of various structures of 115 parasites are given in Table I.

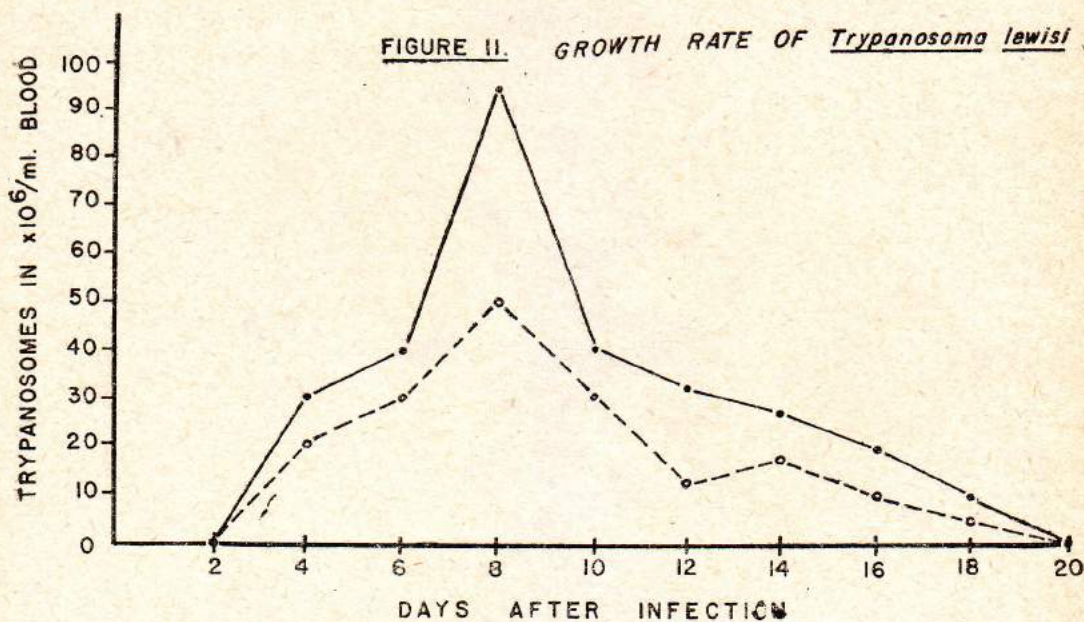
Table I

Various morphological parameters (U) of 115 *Trypanosoma lewisi* organisms, as measured with the ocular micrometer.

Description	Range	Mean	Standard deviation	Coefficient of variation
KINETOPLAST				
width	0.3-1	0.617	0.59	1.91
length	0.4-1.5	0.966	0.84	0.833
NUCLEUS				
width	1.3	1.452	1.79	1.232
length	2.5-4	2.665	1.880	0.78
P-K	2-11	4.67	3.98	1.653
K-MN	5-4	9.65	4.042	0.481
MN-A	3.13	7.513	4.18	0.556
FF	5-13	8.078	4.939	0.611
TL	17-40	29.521	8.86	0.30
W	1.5-8	3.026	3.544	1.171

The growth rates determined by direct and indirect methods are illustrated in Fig. II. The parasites were first detected in the blood on the second day and re-

ached a peak of parasitaemia on the eighth day of infection. Thereafter parasitaemia gradually decreased and disappeared on twentieth day of infection.



The results of the study on micro-agglutination are given in Table II. The form of the characteristic agglutination clumps are shown in Fig. III.

Table II. The result of micro-agglutination. Determination using sera from convalescent rats previously infected with *T. lewisi*

No. of rats	Control	Degree of agglutination		
		1:5	1:10	1:50
9	0	4+	4+	0
10	0	4+	4+	4+

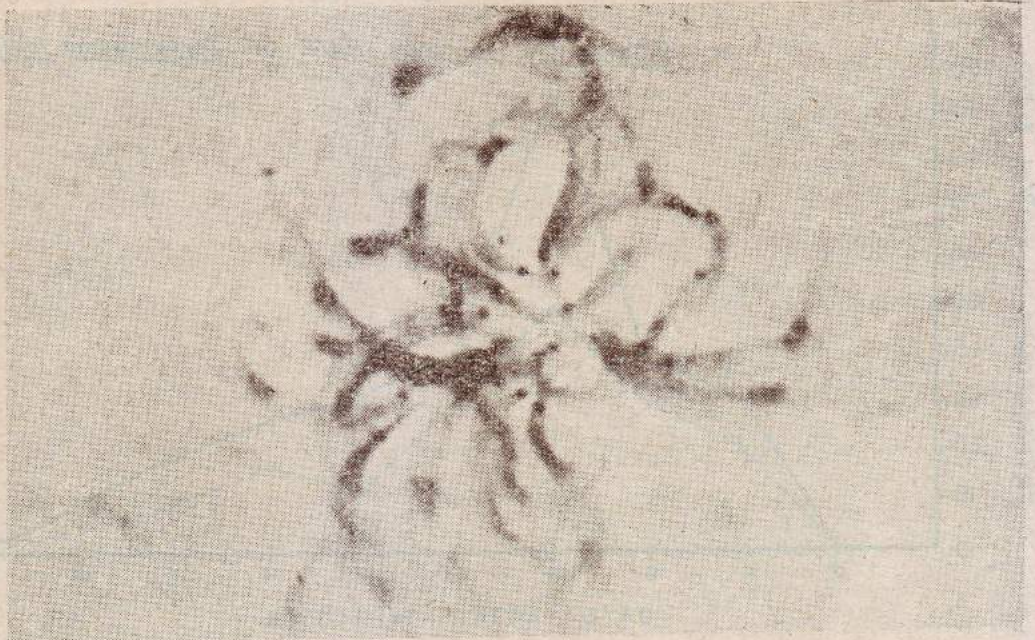


FIGURE III. TYPICAL AGGLUTINATION CLUMP IN IMMUNE SERUM

DISCUSSION :

The results of measurement of various structure of *T. lewisi* in the present work vary slightly from those reported in 1921 by Taliaferro (P-K 4.268 ± 0.36 ; K-MN. 10.854 ± 0.016 ; MN-A 9.511 ± 0.047 ; FF. 6.619 ± 0.008 ; TL 31.25 ± 0.059 W 1.590 ± 0.015). Variation in size may be due to the technique of measurement. In the present study measurements were made with a calibrated ocular microscope. It appears that there is some variation of measurement in this method as compare to use of the camera lucida or by direct photography.

Studies of growth rate both direct and indirect methods demonstrated the

appearance of organism in the blood on the second day of infection, followed by a peak parasitaemia on the day eight. Parasites were not recovered in infected rats after 20 days post infection. The authors were not able to prolong the duration of parasitaemia in rats up to 36 days as was reported by Taliaferro (1921).

Observation while making micromerements of various structures from thin blood films revealed the that up to eighth day of infection the parasites showed a marked polymorphism. It is believed that the examination of the growth curves (Fig. II) indicated that the period of polymorphism coincides with period of exponential growth and multiplication.

After eight days of infection, it appears that multiplication of parasites is completed and parasitaemia begin to gradually decrease. During this period and continuing for about 12 days the organism appears to be monomorphic.

In the study of micro-agglutination phenomenon, it was observed that during the first 10 minutes of the reaction of the organisms moved vigorously in the antisera. Thereafter the organisms began to adhere forming clumps which reach a maximum size of 250 U within one hour. The clumping or agglutination phenomenon was observed to involve a characteristic series of events. Within

the first ten minutes the affected organisms appeared to become sticky and began to adhere to one another. Thereafter posterior portion of the body began to adhere, and leaving the anterior half of the body free. In this manner clumps of organisms look on various configurations, occasionally resembling posterior rosette-like forms to confirm the clumping in posterior rosettes mentioned by Chandler (1961).

ACKNOWLEDGMENT :

The authors are grateful to Dr. Chirasak Kamboonruang and Mr. Micheal Klicks for their helpful discussion throughout this report.

REFERENCES :

1. Belding, David Le, 1965. Text book of Parasitology : 146-147.
2. Chandler, Asa. C., and Clark P. R. 1962. Text book of parasitology : 133-137.
3. Chandler Asa. C. 1958 "Some considerations relative to the nature of immunity in *Trypanosoma lewisi* infections, J. Parasitology : 129-135.
4. Molyneux, David H. 1969. Intracellular stages of *Trypanosoma lewisi* in fleas and attempts to find such stages in other *Trypanosoma* species, Parasitology, 59 : 737-744.
5. Eyles, Don E. 1952. Incidence of *Trypanosoma lewisi* and *Hepatozoon muris* in the Norway rats, J. Parasitology, 38 : 222-225.
6. Fong, Yap Loy, Sandosham, A.A. and Loong, Seow Clin. 1967, The polymorphism of *Trypanosoma lewisi*. The medical Journal of Malaya, 4 : 369.

7. Hilton, D.F.J. and Mahrt, J.L. 1972. Taxonomy of *Trypanosomes* (Protozoa: Trypanosomatidae) of *spermophilus* spp. (Rodentia : Sciuridae Parasitology, 65 : 403-425.
8. Judge, David M. and Anderson M. Sidney. 1964, Ultrastructure of *Trypanosoma lewisi*, J. Parasitology, 50 : 757-762.
9. Kartman, Leo. 1954. Observation on *Trypanosoma lewisi* and *Grabamella* spp. in the blood of rats from Hamaka district, island of Hawaii, J. Parasitology, 40 : 571-588.
10. Lincicome, Davis Richard and Watkins, Roy Cherter 1965. Antigenic relationships among *Trypanosoma lewisi* complex cells, J. Parasitology, 55 : 365-373.
11. Lumsden W.H.R. 1965 Biology aspects of *Trypanosomiasis* research, Advances in parasitology, 3 : 5-14.
12. Taliaferro, W.H. 1921 Variation and inheritance in size in *Trypanosoma lewisi*" Proc. N.A.S. 7, : 138-143.
13. Soulsby, E.J.L. 1968. Textbook of helminths, Arthropods and Protozoa of Domesticated Animals. : 556 557.
14. Swellengrebel N.H. and Sterman M.-M. 1961 Textbook of Animal Parasites in Man. : 58-61.

ย่อเรื่อง

การศึกษาอัตราการขยายพันธุ์ และการทดสอบปฏิกิริยาทางน้ำเหลืองของ *T lewisi* ได้ทราบว่า มีขนาดเฉลี่ย กว้าง 1.5 ไมครอน ยาว 30 ไมครอน หนูขาวติดเชื้อมีได้นาน 20 วัน แล้วเชื้อมีจะหมดสิ้นไป การทดสอบปฏิกิริยาทาง

น้ำเหลืองของหนูที่ฟื้นจากการติดเชื้อมันแล้ว กับตัวเป็น ๆ ได้ทำให้เชื้อจับกันเป็นกลุ่มก้อน โดยใช้ส่วนค้ำหลังของตัวติดกัน ในเวลา 1 ชั่วโมง ที่อุณหภูมิห้องจะตายโดยการแตกสลายของตัวเชื้อ



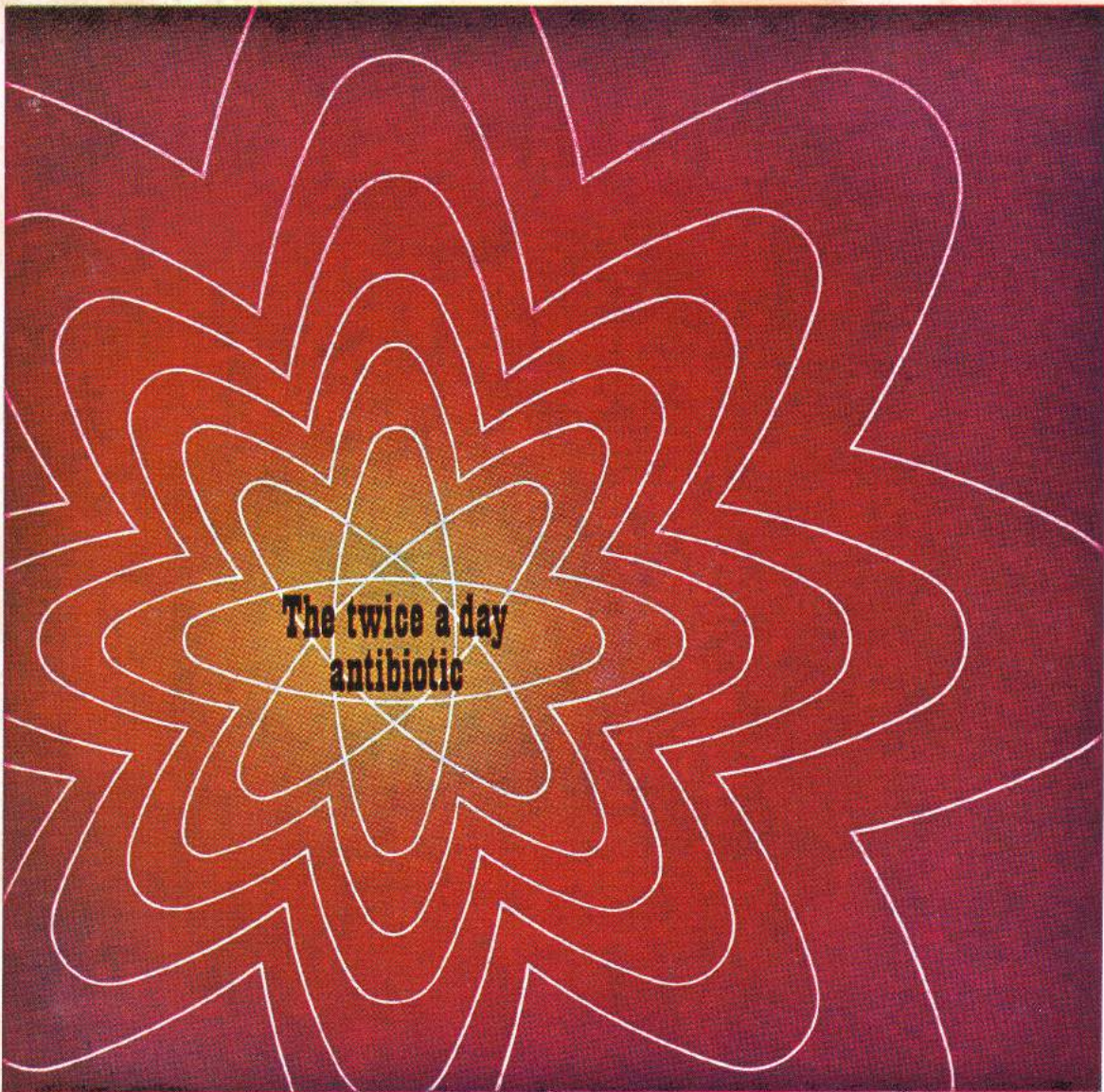
STESOLID

DIAZEPAM

Anxiety - relieving
Psycho - relaxing
Muscle - relaxing
Anti - convulsive

Your best choice. A complete range of STESOLID preparations is now available in: 2 mg., 5 mg., 10 mg., capsules in bottle packs of 500; and for injections in 2 ml. ampoules, containing 10 mg./2 ml. in box of 50 ampoules.

DUMEX



The twice a day
antibiotic

Dumocycline

DUMOCYCLINE simplifies treatment because of its broader spectrum — rapid onset of action — twice a day dosage

Indications

RESPIRATORY TRACT INFECTIONS — URINARY TRACT INFECTIONS

DUMOCYCLINE is available in different dispensing forms.
For further information please contact our sales representatives
or write to us directly.

Dosage: 2 capsules twice daily

DUMEX



ย่อ และ วิจารณ์เอกสาร

Rapid Detection of Gram Negative Bacteriuria by the Limulus Endotoxin Assay.

by Jargensen, J. H., et al.

App. Micro. 26:38-48, 1973.

วิธีใช้ *Limulus polyphemus* (horse shoe crab) amoebocyte เพื่อทดสอบหา endotoxin โดยที่ lysate จะกลับกลายเป็นวุ้น (gelation) วิธีนี้ใช้ทดสอบหา endotoxin ได้ทั้งในบัสสาวะ, เลือด (plasma), short-acting adjuvant agent และ fluids อื่นๆ วิธีทดสอบใช้ lysate 0.1 ml. ผสมกับตัวอย่างตรวจ 0.1 ml. ใส่ตู้บ่มที่ 36°C นาน 60 นาที แล้วเอามาอ่านผลโดยการเกิดวุ้นของ lysate บอกได้เป็นบวกหนึ่งถึงบวกสี่ ในการหา endotoxin ในบัสสาวะสามารถหาความสัมพันธ์ ระหว่าง limulus activity และ viable cell count ได้ (*E. coli* and *K. pneumoniae*) limulus test positive ที่ความเจือจาง 1:100 หรือ 1:1,000 จะมี bacteria มากกว่า 10^5 cells/ml. และ limulus test positive มี undiluted หรือ 1:10 จะมี bacteria น้อย

กว่า 10^5 cells/ml. limulus test มีความไวสูงมากสามารถจะทดสอบ endotoxin ได้ในความเข้มข้นที่ต่ำเป็น 100 microgram เมื่อเทียบกับการทดสอบ in vivo test จะสูงกว่า 10 เท่า ยาปฏิชีวนะจะไม่มีผลแทรกซ้อนในการทดสอบเลย และยังมี specificity เฉพาะ gram negative bacteria เท่านั้น.

สุพิศรา ธีรวิกรม

ว.บ. (เทคนิคการแพทย์)

The Giemsa Stain for Tissue Sections An Improved Method

Cramer, Adelbert D., Rogers, Eugene R.
Parker John W. and Lukes, Robert J.
Am J. Clin. Pathol. 60:148-156, 1973

Giemsa Stain ที่ใช้ในการย้อม blood และ bone marrow smears นั้น ได้เป็นที่ยอมรับ และเชื่อถือกันอย่างกว้างขวางว่าได้ผลดี แต่เมื่อนำมาใช้ย้อม tissue sections ปรากฏว่ายังไม่ได้ผลดีเป็นที่น่าพอใจ จึงได้มีการแก้ไขปรับปรุงใหม่โดยใช้ azure II-eosin, azure II, azure B-eosin, azure A-eosin ละลายในส่วนผสมต่างๆ กันของ gly-

cerin และ methyl alcohol ในการ adjust pH นั้นใช้ acetic acid แทนที่จะเป็น phosphate buffers อย่างวิธีดั้งเดิม ผู้รายงานกล่าวว่า วิธีการย้อมนี้ ได้ผลดีสำหรับบารตรวจ lymphoid tissue section สามารถจะ identify immunoblast ได้ดี และให้ความเห็นว่า ในการทำ sections ของ bone marrow, lymph nodes และ spleen ควรจะใช้วิธีย้อม Giemsa นี้ควบคู่ไปด้วย ดีกว่าที่จะ ย้อมโดยวิธี Hematoxylin and Eosin แต่เพียงอย่างเดียว.

ชลอ บัวน้ำจืด

(วท.บ. เทคนิคการแพทย์)

Staining of Bacteria in Tissue Sections :

A Reliable Gram Stain Method

Brown, Robert C., and Hopps Howard C.
Am J. Clin. Pathol. 60:234-240, 1973.

ผู้รายงานเรื่องนี้ ได้ทำการ ทดลองเปรียบเทียบการย้อม bacteria ใน tissue sections จากวิธีการต่างๆ ที่อาศัยหลัก Gram stain กับวิธีการของผู้รายงานเอง ปรากฏว่าวิธีอื่นๆ การติดสีไม่ดีเท่าที่ควร เนื่องจากหลายสาเหตุ เช่น เกี่ยวข้องกับความแตกต่างกันของ tissue lesions, types of bacteria, types of fixatives, types of embedding agents ตลอดจนความหนาบางของ

sections เหล่านี้ทำให้การติดสีต่างกัน ไม่ดีบ้างแตกต่างกันไป แต่สาเหตุต่างๆ ที่กล่าวมาข้างต้นนี้ จะไม่มีผลเสียต่อการย้อมโดยวิธีใหม่ของผู้รายงานเลย การติดสีจะได้ผลดีเหมือนกันทั้งหมดตามวิธีการของผู้รายงานนี้ มีส่วนที่ต่างไปจากวิธีอื่นๆ บ้าง คือ ใช้ acetone เป็นตัว differentiator มี picric acid in acetone ทำให้เกิดสีเหลืองเป็น background มี Working basic fuchsin solution หลายอย่างให้เลือก เพื่อให้เหมาะกับ fixatives ที่ใช้ นอกจากนี้ยังมี Gallego's solution ทำให้การย้อมได้ผลดียิ่งขึ้นด้วย.

ชลอ บัวน้ำจืด

วท.บ. (เทคนิคการแพทย์)

Heinz bodies susceptibility of Red Cell and exchange transfusion.

Schroter, W. and Tillmann, W. Chanburg.
Acta, Haemat. 49:74-79, 1973.

ผู้ทำการทดลองได้ศึกษาในผู้ใหญ่ที่ได้รับการถ่ายเลือด และจาก cord blood ของเด็กที่คลอดใหม่ โดยทำการทดลองในเด็ก 3 คนที่เป็น anti D erythroblastosis, 2 คนที่เป็น ABO erythroblastosis 1 คนที่เป็น unconjugated hyperbilirubinemia ผลที่ได้จากการทดลองในคนไข้ทั้ง 3 พวก การเกิด Heinz bodies ไม่แตกต่างกัน

และจากการทดลองโดยใช้เลือดของผู้ใหญ่ที่ได้
ถ่ายเลือด และจาก cord blood ของเด็กคลอด
ใหม่ ปรากฏว่าการเกิด Heinz bodies ของ
เลือดในผู้ใหญ่ช้าและน้อยกว่า cord blood
ยังมีการศึกษาต่อไปอีกโดยการเอาเลือดที่ in-
cubate กับ acetylphenylhydrazine
แล้วแบ่งเป็น 2 พวก คือ พวกหนึ่งเติม Ca^{++}
อีกพวกหนึ่งไม่เติม Ca^{++} ปรากฏว่าเลือดที่เติม
 Ca^{++} จะเกิด Heinz bodies ได้เร็วและมี
จำนวนมากกว่ที่ไม่เติม Ca^{++} ยิ่งในผู้ใหญ่ยิ่ง
เห็นได้ชัดมาก.

อัญชลี กิตติชนม์ธวัช

วท.บ. (เทคนิคการแพทย์)

Disk test for the Differentiation of Pneumococci from other Alpha-hemolytic Streptococci

Victor Lorian and George Markovits
Applied Microbiology 1973, Vol. 26 No. 1

เลี้ยง Pneumococci หรือ alpha
Streptococci ใน thioglycollate แล้ว
incubate ใน water bath 6 ชั่วโมงที่
37°C แล้วจึง Swab ลงบน 2% horse
red cell-Brucella agar plate แล้ววาง
methicillin sensitivity disk (5 micro-
gram) ลงกลาง plate, incubate ใน
anaerobic jar 24 ชั่วโมงที่ 37°C แล้วจึง

เอา plate ออกมาให้สัมผัสกับอากาศที่ 6°C
48 ชั่วโมง

ผลการทดลองด้วยเชื้อ Pneumococci
และ alpha Streptococci อย่างละ 125
Strain พบว่า

1. ทุก Strain Susceptible ต่อ Me-
thicillin และให้ alpha hemolysis ภาย
หลัง 24 ชั่วโมงที่เลี้ยงใน anaerobic jar
2. หลังจาก 24 ชั่วโมงที่สัมผัสกับอากาศ
6°C 76% ของ Pneumococci ให้ Beta
hemolysis ring รอบๆ zone of methi-
cillin inhibition อีก 24% ให้ ring
ของ alpha hemolysis ภายหลัง 48 ชั่วโมง
ที่สัมผัสกับอากาศ pneumococci ทั้งหมดให้
ring ของ Beta hemolysis รอบๆ zone
of methicillin inhibition

3. alpha streptococci ไม่ให้ Beta
hemolysis ในทุกภาวะของการทดลอง จะ
ให้เพียง alpha hemolysis เท่านั้น

Test อันนี้ถือได้ว่าเป็น The accurate
differentiation ของ Pneumococci กับ
alpha-Streptococci.

สุชาติ ศิริทูล

วท.บ. (เทคนิคการแพทย์)



ข่าว

ทุนอุดหนุนการศึกษา

สโมสรนักศึกษาเทคนิคการแพทย์ มหาวิทยาลัยเชียงใหม่ ร่วมกับบริษัทศรีเอช จำกัด และเจ้าไชยสุวิวงศ์ ณ เชียงใหม่ จัดฉายภาพยนตร์เรื่องคุณหญิงนอกทำเนียบ ณ โรงภาพยนตร์สุริยง เก็บเงินได้ 10,952 บาท มอบให้ โครงการ คณะ เทคนิคการ แพทย์ เพื่อ เก็บดอกเบียมาจัดสรรค้เป็นทุนอุดหนุน การศึกษาแก่นักศึกษาเทคนิคการแพทย์ต่อไป

จัดงานนิทรรศการเทคนิคการแพทย์

สโมสรนักศึกษาเทคนิคการแพทย์ มหาวิทยาลัยเชียงใหม่ ได้จัดงานนิทรรศการและการบริการ ประชาชนในงาน ดุคคู หนาว จังหวัด เชียงใหม่ ตั้งแต่ 31 ธันวาคม 2516 ถึง 6 มกราคม 2517 มีประชาชนและนักเรียนนักศึกษาสนใจมารับบริการเป็นจำนวนมาก

พิธีพระราชทานปริญญาบัตร

พระบาทสมเด็จพระเจ้าอยู่หัว ได้เสด็จมา พระราชทานปริญญาบัตรแก่บัณฑิตที่สำเร็จการ

ศึกษาประจำปีการศึกษา 2515-2516 ในวันที่ 22 มกราคม 2517 ในพิธีนี้บัณฑิตเทคนิคการแพทย์ที่ได้รับพระราชทานปริญญาบัตรมีจำนวน 33 ท่าน ซึ่งเป็นรุ่นที่ 5 ของโครงการคณะเทคนิคการแพทย์ มหาวิทยาลัย เชียงใหม่

เลื่อนการประชุมวิชาการเทคนิคการแพทย์ครั้งที่ 2

ทางโครงการคณะเทคนิคการแพทย์ได้รับแจ้งจากสมาคมเทคนิคการแพทย์แห่งประเทศไทย ขอเลื่อนการประชุมวิชาการเทคนิคการแพทย์ครั้งที่ 2 ซึ่งจะมีวันที่ 8-12 เมษายน 2517 นี้ ออกไปโดยไม่มีกำหนด ถ้าได้ตกลงแน่นอนแล้ว ทาง คณะ กรรมการ จะ แจ้งให้ทราบอีกครั้งหนึ่ง สำหรับใบสอบถามที่ทางคณะกรรมการ ดำ เนิน การ ได้ ส่ง ไป นั้น กรุณาขอให้ส่งกลับคืนมาด้วยเพื่อคณะกรรมการจะได้เตรียมการให้ถูกต้องตามความประสงค์.